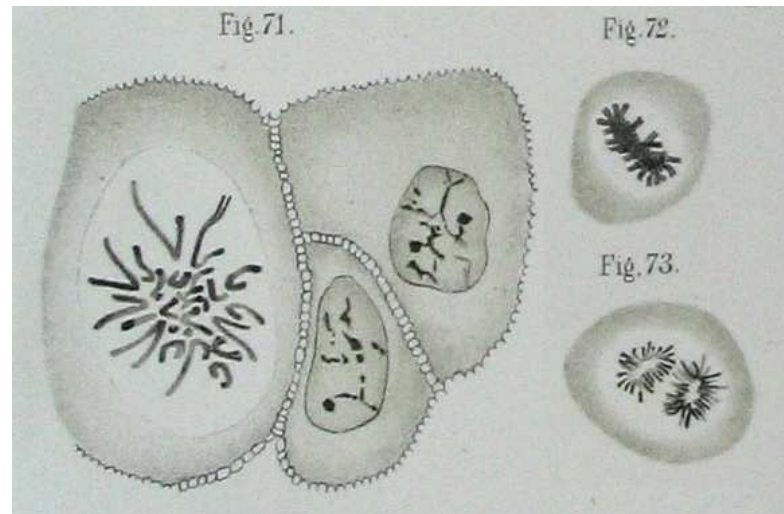


Biológia pre informatikov

Tomáš Vinar

24.9.2020



Walther Flemming, 1881

Hlavné postavy

Deoxyribonukleová kyselina (DNA)

Obsahuje genetickú informáciu prenášanú z generácie na generáciu.

Dlhý reťazec nukleotidov z množiny $\{A, C, G, T\}$

(adenín, cytozín, guanín, tymín).

Informácia uložená v symbolickej, digitálnej forme.

Ribonukleová kyselina (RNA)

Blízka príbuzná DNA, tymín T nahradený uracylom U

Proteíny (bielkoviny)

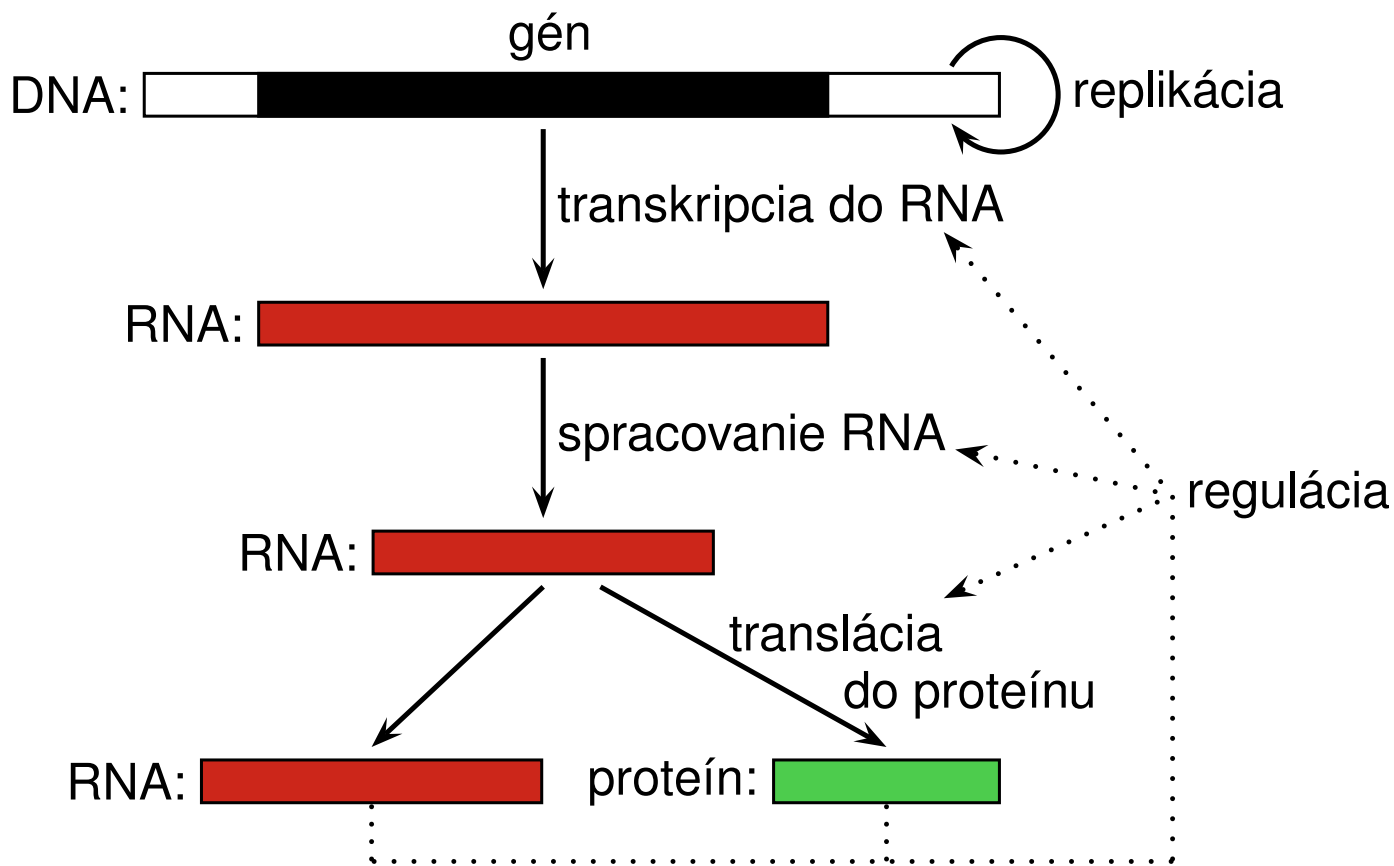
Katalyzujú biochemické reakcie v bunke (enzýmy),
prenášajú signály v rámci bunky/medzi bunkami,
sú dôležité pre stavbu bunky a pohyb.

Reťazec aminokyselín (20 rôznych aminokyselín).

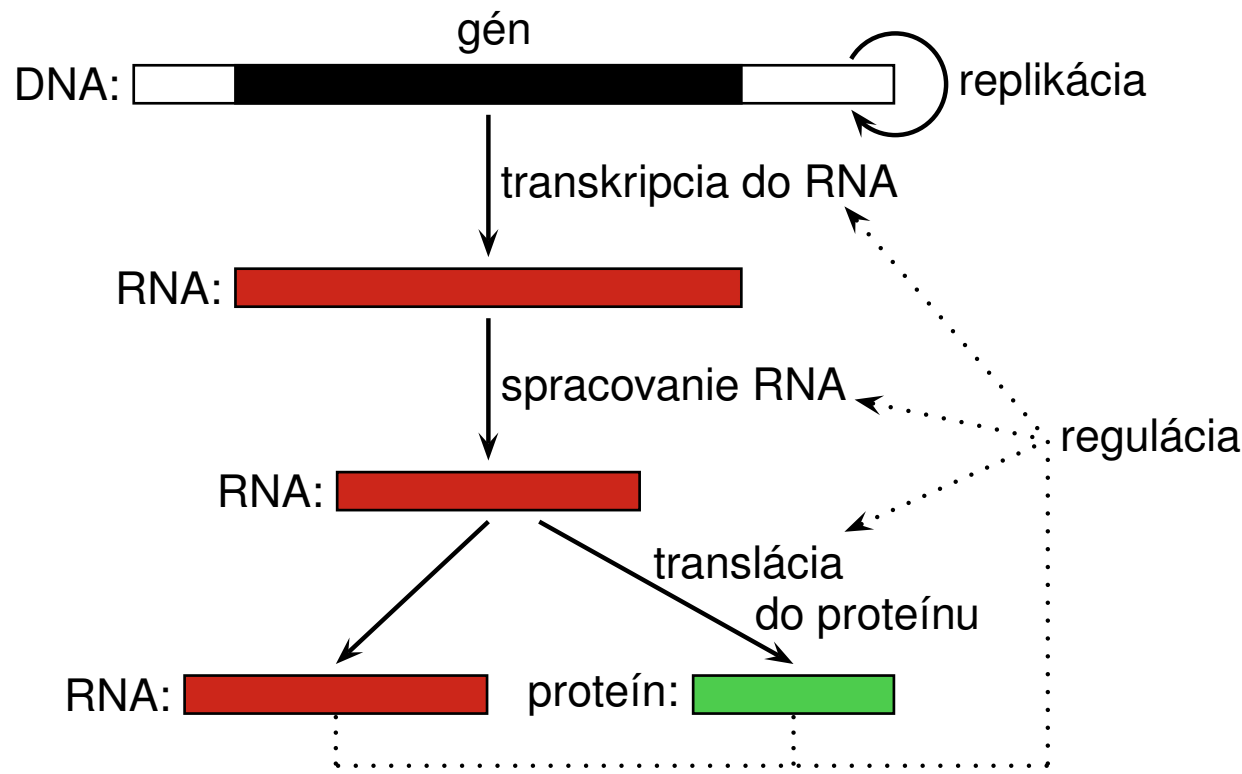
Aká informácia je uložená v DNA?

Gény: Predpisy na tvorbu proteínov a funkčných RNA molekúl.

Riadenie ich expresie: kedy a kol'ko sa má tvoriť.



Centrálna dogma (Francis Crick 1958,1970)



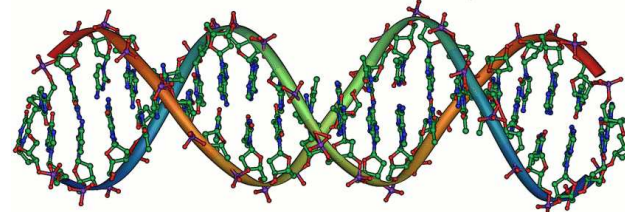
"The central dogma of molecular biology deals with the detailed residue-by-residue transfer of sequential information. It states that such information cannot be transferred back from protein to either protein or nucleic acid."

DNA, chromozómy

DNA: dve komplementárne vlákna, strands (páry A-T, C-G),
v opačnej orientácii (konce sa nazývajú 5' a 3').

Napr. ACCATG je komplementárny s CATGGT.

Tvar dvojitej špirály:



Dvojvláknová štruktúra poskytuje redundanciu, možnosť opravy pri poškodení jedného vlákna.

Pri delení bunky sa dvojvláknová DNA rozdelí a ku každému vláknu sa doplní komplement (DNA replikácia).

Chromozóm: Súvislý úsek dvojvláknovej DNA a podporných proteínov.

Ľudský genóm má 22 párov chromozómov plus dva pohlavné,
spolu 3GB.

Sangerovo sekvenovanie (Sanger sequencing)

Sekvenujeme AGCTAGGACT (zobrazená sprava doľava)

Primer AGT + enzymy + nukleotidy + modifikované ofarbené nukleotidy

Výsledky sekvenovacej reakcie:

| | |
|------------|------------|
| TCAGGATCGA | TCAGGATCGA |
| AGTCCTAGC | AGTCCTA |
| | |
| TCAGGATCGA | TCAGGATCGA |
| AGTCCTAGCT | AGTCCTA |
| | |
| TCAGGATCGA | TCAGGATCGA |
| AGTCCT | AGTCCT |
| | |
| TCAGGATCGA | TCAGGATCGA |
| AGTC | AGTCCTA |
| | |
| TCAGGATCGA | TCAGGATCGA |
| AGTC | AGTC |

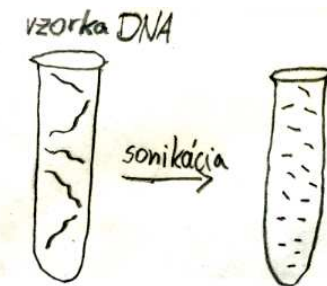
Na géli zoradíme podľa dĺžky:

AGTCCTAGCT
AGTCCTAGC
AGTCCTAG
AGTCCTA
AGTCCT
AGTC
AGTC

Odčítaním farieb dostaneme komplementárne vlákno: AGTCCTAGCT

Technológia: sekvenovanie DNA

- Postup na zistovanie poradia báz v chromozómoch genómu.
- Chromozómy sa nasekajú na krátke kúsky,
každý sa sekvenuje zvlášť
napr. Sangerovým sekvenovaním.
– využíva prírodné enzymy, napr. DNA polymerázu
- **Bioinformatický problém:** skladanie celej sekvencie z kúskov.
- Dostupnosť genómov umožňuje
katalogizovať gény a iné funkčné úseky,
hľadať podobnosti a rozdiely medzi druhmi a jedincami.

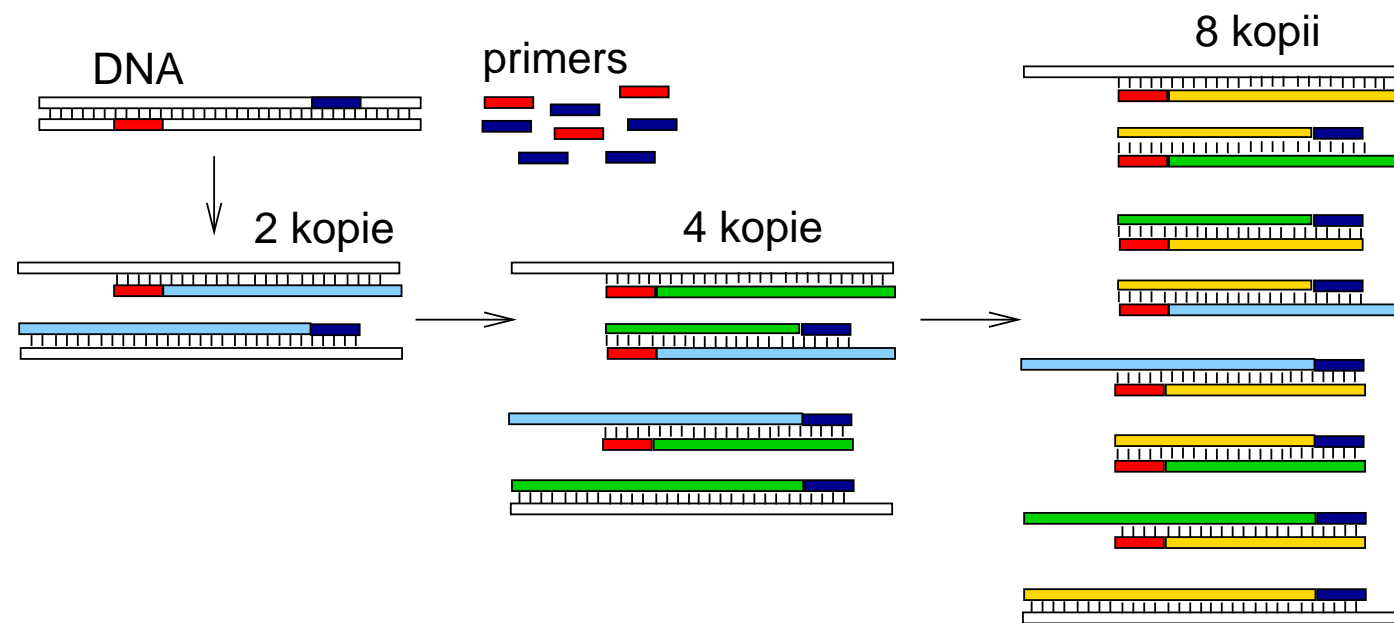


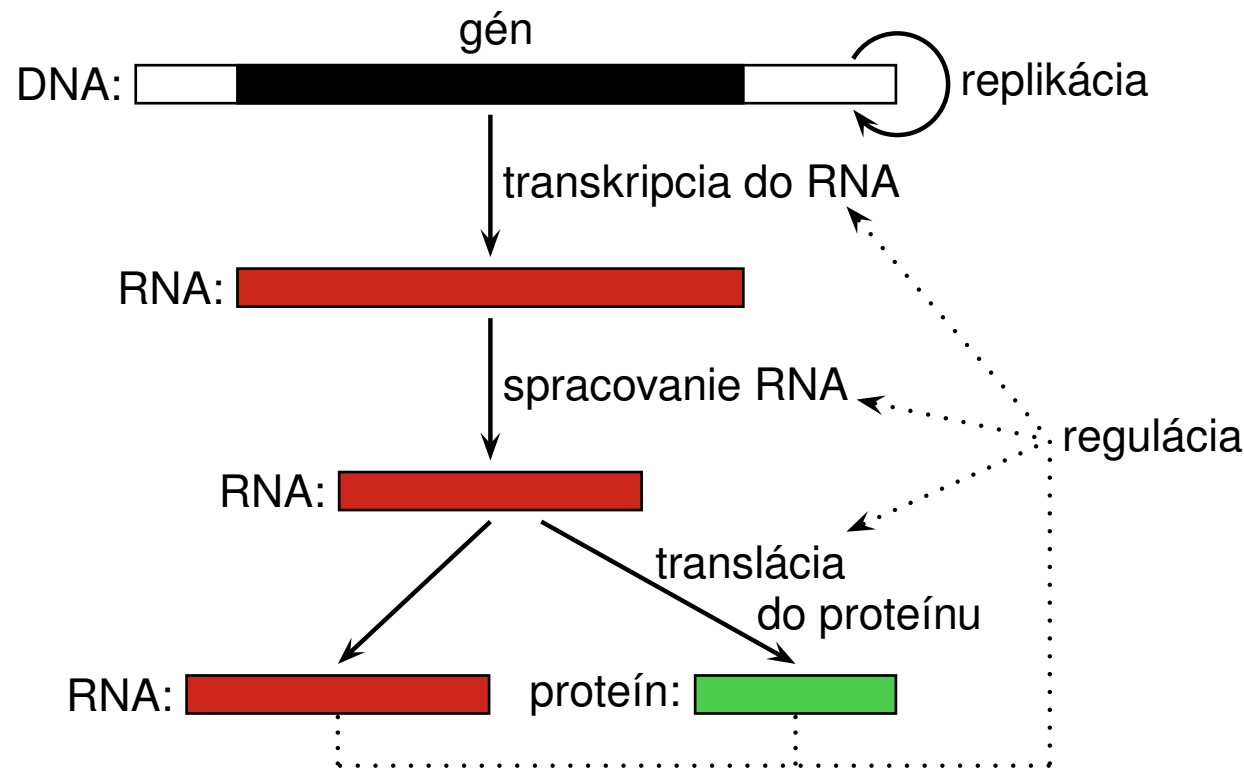
PCR (polymerase chain reaction)

Zvolíme si dva krátke úseky DNA (primers)

PCR testuje či sú v DNA blízko seba (stovky, tisíce báz)

Ak áno, namnoží úsek medzi nimi

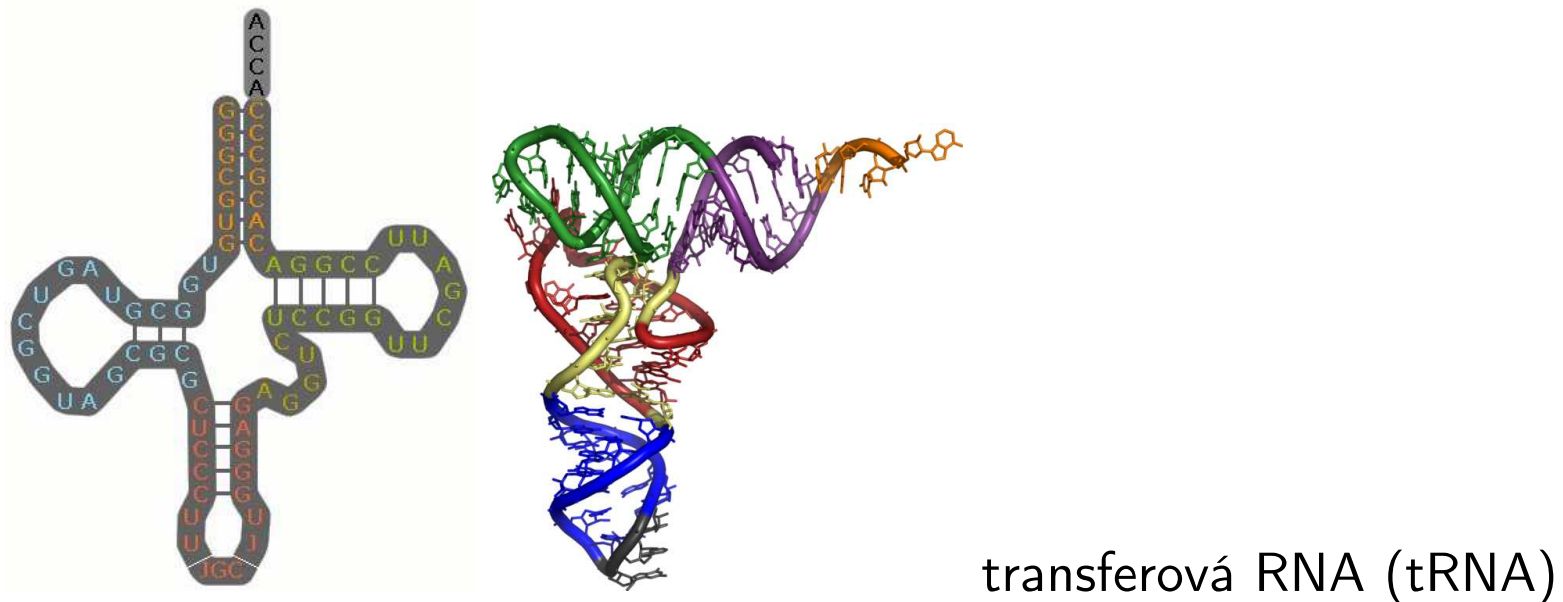




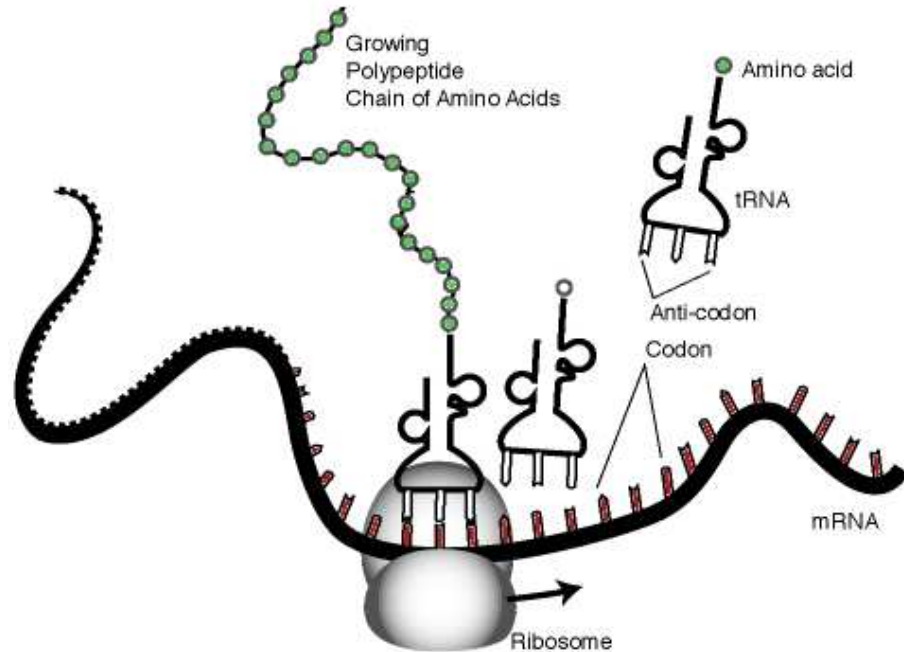
RNA

Ako sa lísi od DNA?

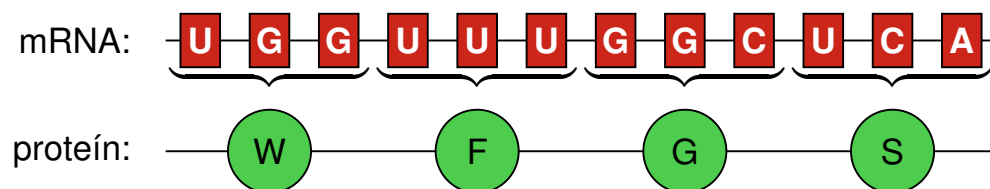
- obsahuje ribózu namiesto deoxyribózy
- obsahuje uracil namiesto tymínu (bázy A,C,G,U)
- jednovláknové reťazce, zvyčajne kratšie
- zložitá sekundárna štruktúra: spárované komplementárne úseky



Translácia



Kodón (trojica nukleotidov) určuje 1 aminokyselinu



Genetický kód

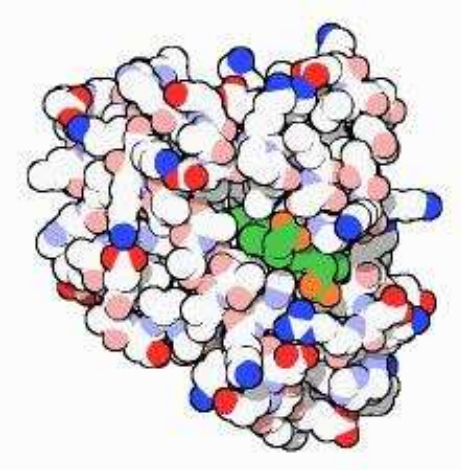
| | | | |
|---------|------------------------------|---------|------------------------------|
| Ala / A | GCT, GCC, GCA, GCG | Leu / L | TTA, TTG, CTT, CTC, CTA, CTG |
| Arg / R | CGT, CGC, CGA, CGG, AGA, AGG | Lys / K | AAA, AAG |
| Asn / N | AAT, AAC | Met / M | ATG |
| Asp / D | GAT, GAC | Phe / F | TTT, TTC |
| Cys / C | TGT, TGC | Pro / P | CCT, CCC, CCA, CCG |
| Gln / Q | CAA, CAG | Ser / S | TCT, TCC, TCA, TCG, AGT, AGC |
| Glu / E | GAA, GAG | Thr / T | ACT, ACC, ACA, ACG |
| Gly / G | GGT, GGC, GGA, GGG | Trp / W | TGG |
| His / H | CAT, CAC | Tyr / Y | TAT, TAC |
| Ile / I | ATT, ATC, ATA | Val / V | GTT, GTC, GTA, GTG |
| START | ATG | STOP | TAA, TGA, TAG |

Proteíny

Reťazce 20 rôznych aminokyselín s rôznymi chemickými vlastnosťami:

| Aminokyselina | Postranný reťazec | Jeho vlastnosti |
|-------------------------|--|-----------------|
| Alanín (A) | -CH3 | hydrofóbny |
| Arginín (R) | -(CH ₂) ₃ NH-C(NH)NH ₂ | bázický |
| Asparagín (N) | -CH ₂ CONH ₂ | hydrofilný |
| Kyselina asparágová (D) | -CH ₂ COOH | kyslý |
| Cysteín (C) | -CH ₂ SH | hydrofóbny |
| Kyselina glutámová (E) | -CH ₂ CH ₂ COOH | kyslý |
| Glutamín (Q) | -CH ₂ CH ₂ CONH ₂ | hydrofilný |
| Glycín (G) | -H | hydrofilný |
| Histidín (H) | -CH ₂ -C ₃ H ₃ N ₂ | bázický |
| Izoleucín (I) | -CH(CH ₃)CH ₂ CH ₃ | hydrofóbny |
| Leucín (L) | -CH ₂ CH(CH ₃) ₂ | hydrofóbny |
| Lyzín (K) | -(CH ₂) ₄ NH ₂ | bázický |
| Metionín (M) | -CH ₂ CH ₂ SCH ₃ | hydrofóbny |
| Fenylalanín (F) | -CH ₂ C ₆ H ₅ | hydrofóbny |
| Prolín (P) | -CH ₂ CH ₂ CH ₂ - | hydrofóbny |
| Serín (S) | -CH ₂ OH | hydrofilný |
| Treonín (T) | -CH(OH)CH ₃ | hydrofilný |
| Tryptofán (W) | -CH ₂ C ₈ H ₆ N | hydrofóbny |
| Tyrozín (Y) | -CH ₂ -C ₆ H ₄ OH | hydrofóbny |
| Valín (V) | -CH(CH ₃) ₂ | hydrofóbny |

Štruktúra proteínov

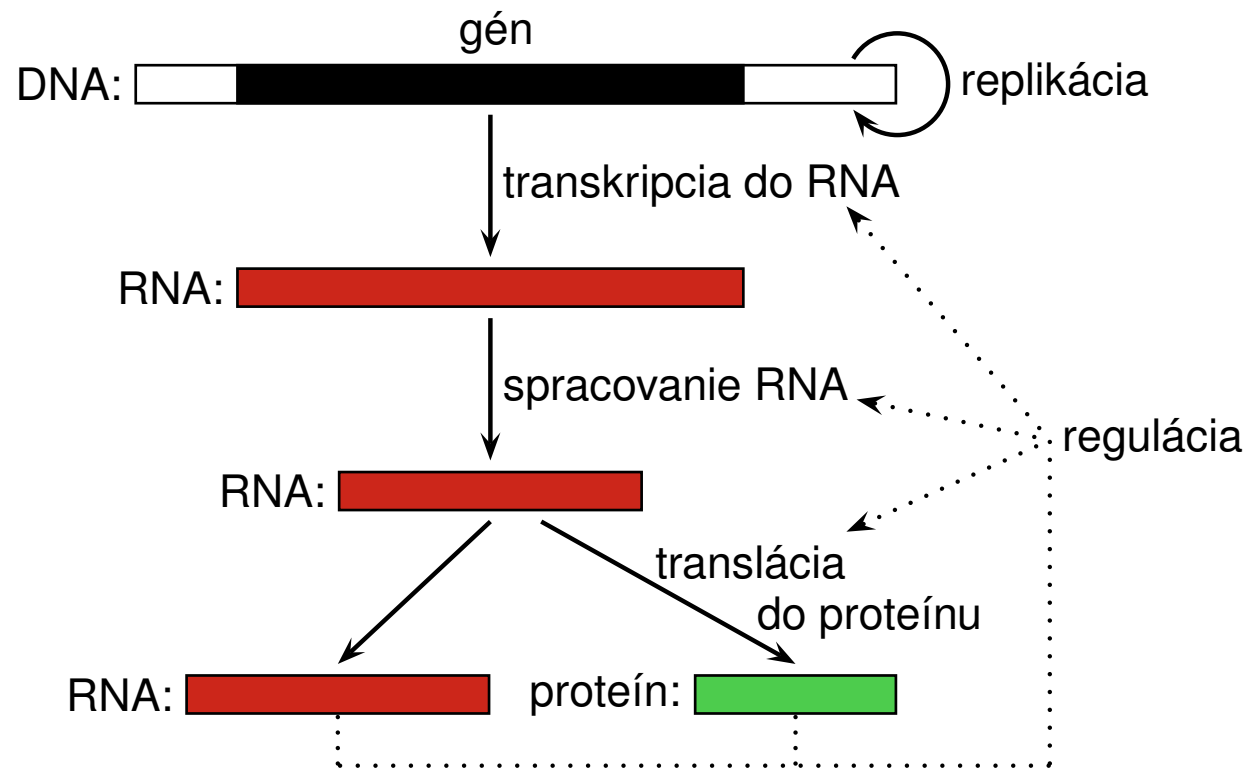


Myoglobín, prvý proteín so známou štruktúrou (Kendrew a kol. 1958).

Proteíny sa vyskytujú poskladané v určitej stabilnej štruktúre, prípadne prechádzajú medzi niekoľkými stavmi.

Hydrofóbne aminokyseliny neinteragujú s vodou, zväčša sa vyskytujú vo vnútri štrukúry.

Štruktúra proteínu určuje jeho funkciu.

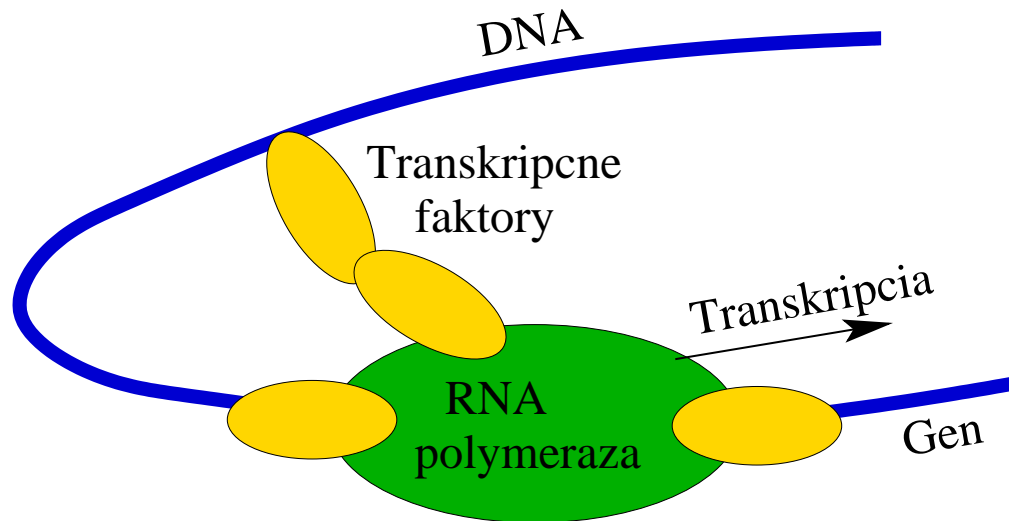


Regulácia expresie

Bunky v rôznych tkanivách toho istého organizmu zdieľajú ten istý genóm, vyzerajú a fungujú však veľmi rôzne.

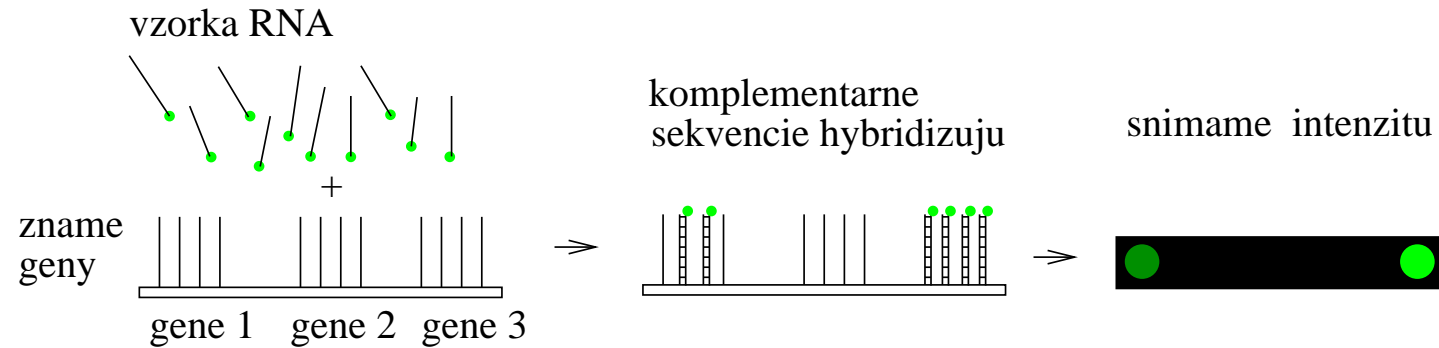
Niektoré proteíny sa tvoria len za určitých okolností, alebo v premenlivom množstve.

Regulácia začiatia transkripcie pomocou transkripcných faktorov:



Bioinformatický problém: zisti, ktoré faktory ovplyvňujú ktorý gén, kde presne sa viažu.

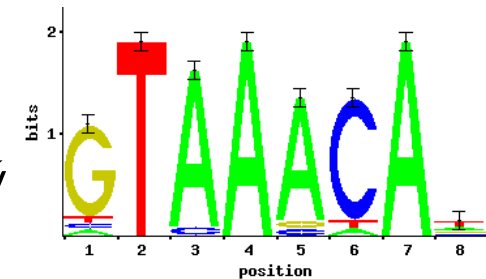
Technológia: microarray



Meranie množstva mRNA prítomnej v bunke pre **veľa génov** naraz.
Zopakujeme za rôznych podmienok, študujeme korelácie medzi génmi.
Môžu byť dôsledkom spoločného regulátora (transkripčného faktoru).

Bioinformatický problém:

niekoľko ko-regulovaných génov,
nájdi motív, ku ktorému sa môže viazať spoločný
transkripčný faktor (**motif finding**)



Príklad microarray dát

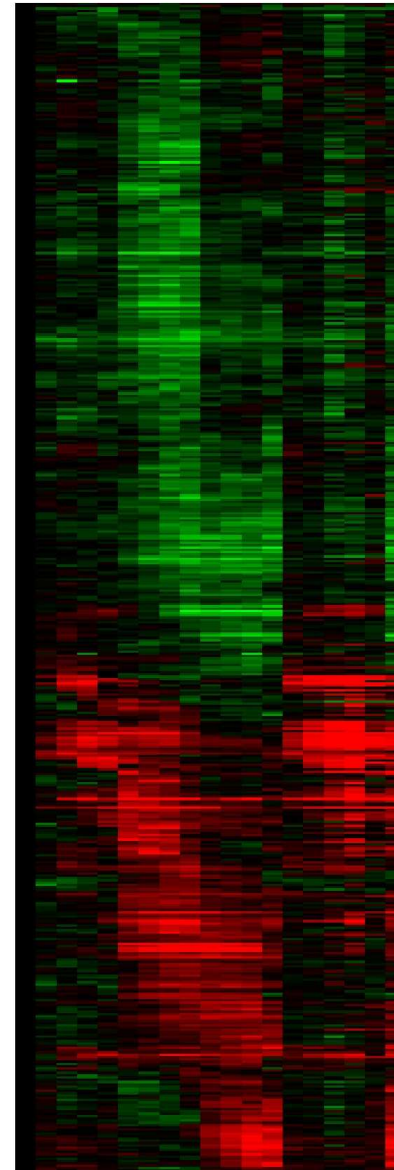
Pomer expresie génu v meranej a kontrolnej vzorke fg/bg

Červená: $fg > bg$

Zelená: $fg < bg$

517 génov

19 experimentov



Mutácie DNA

V DNA občas dochádza k zmenám, mutáciám (napr. pod vplyvom prostredia, či chybou pri replikácii).

Typy mutácií:

substitúcia, substitution (jedna báza sa zmení na inú),
inzercia, insertion (vloží sa niekoľko nových báz),
delécia, deletion (vynechá sa niekoľko báz),
zmeny väčšieho rozsahu (napr. translokácie).

Bioinformatické problémy:

Ktoré sekvencie vznikli z spoločného predka mutovaním?
(hľadanie homológov, homology search)

Ktoré bázy v dvoch príbuzných sekvenciách si navzájom zodpovedajú?
(sequence alignment, zarovnávanie sekvencií)

Populačná genetika

Mutácie sa šíria v populácii z rodičov na potomkov.

Nebezpečné mutácie rýchlejšie vymiznú, prospešné sa rýchlejšie ujmú (prírodný výber, natural selection).

Polymorfizmus: genetický rozdiel medzi organizmami v rámci druhu.

Vedie k rozdielnosti vo fenotype, napr. výzor, dedičné choroby.

Sekvenovaním viacerých jedincov toho istého druhu získame prehľad o polymorfizme.

Bioinformatický problém:

Nájdi polymorfizmus zodpovedný za určitý znak (napr. chorobu).

Evolúcia

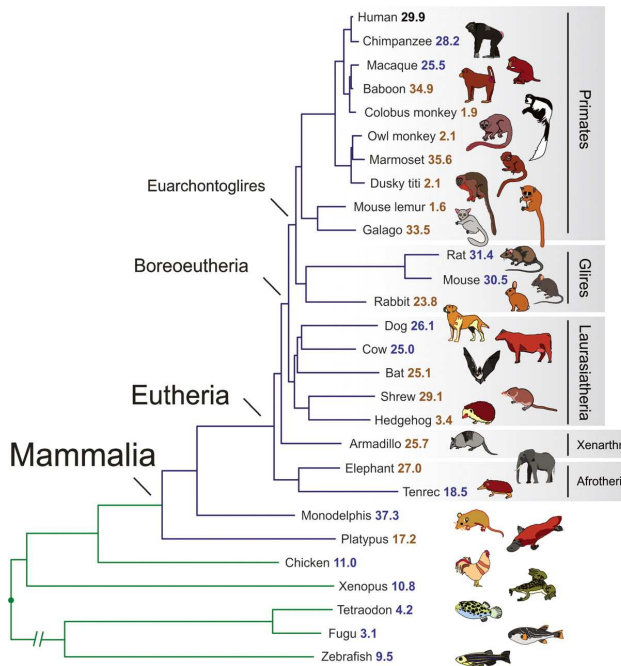
Vznik nových druhov (speciation):

Po rozdelení populácie na viacero oddelených častí nedochádza k výmene genetického materiálu.

Hromadia sa zmeny až kým nie je možné párenie: vznik nových druhov.

Bioinformatický problém:

Na základe dnešných sekvenčí určí strom reprezentujúci vývoj druhov (fylogenetický strom, phylogenetic tree)



Prokaryotické vs. eukaryotické organizmy

Prokaryoty: baktérie, jednoduché jednobunkové organizmy.

Nemajú jadro (DNA priamo v cytoplazme),
majú kruhový chromozóm (a prípadné kratšie plasmidy),
jednoduchšia štruktúra génu atď.

Eukaryoty: živočíchy, rastliny, huby, niektoré jednobunkové organizmy.

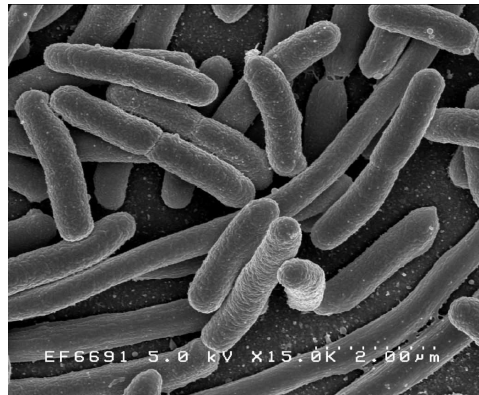
Bunka obsahuje jadro s DNA, viacero organel.

Mitochondrie a chloroplasty sú pohltенé prokaryoty, ktoré sa stali časťou eukaryotickej bunky.

Dlhší genóm v niekoľkých lineárnych chromozómoch.

Modelové organizmy

Dôležité pre biologický výskum, vieme o nich viac než o príbuzných druhoch. Poznatky širšie aplikovateľné.



Escherichia coli: baktéria žijúca v črevách. Jednoduchá manipulácia, delenie každých 20 min. Štúdium základných životných procesov: DNA replikácia, expresia génov, atď. Genóm s 4000 génmi, 4.6MB.



Saccharomyces cerevisiae: pekárske droždie. Jednoduchý eukaryotický organizmus. Genóm s 6000 génmi, 13MB. Delenie každé 2 hodiny. Štúdium špecificky eukaryotických javov.

Modelové organizmy



Arabidopsis thaliana: malá kvitnúca rastlina, 6-týždňový životný cyklus. Skúmanie javov špecifických pre rastliny.

Caenorhabditis elegans: malý červ, nematód, žijúci v pôde. Štúdium vývinu (ontogenéza, development), diferenciácie buniek.

Drosophila melanogaster: vínna muška. Štúdium genetiky, gény riadiace vývin jedinca.

Stavovce: žaba *Xenopus laevis* (veľké, ľahko manipulovateľné vajíčka), akvarijná ryba *Danio rerio* (priehľadné embryá), myš *Mus musculus* (existuje veľa plemien so špeciálnymi vlastnosťami).

Dostupné dáta

- DNA sekvencie: celé genómy, ich časti
- Ich anotácia: súradnice génov a iných funkčných častí
- Sekvencie RNA, ich štruktúra
- Sekvencie proteínov, ich funkcia a štruktúra
- Merania množstva RNA/proteínu v bunke
- ...

Dáta založené na experimentoch alebo výsledky výpočtových metód
Veľa chýb (v oboch prípadoch)

Ďalšie informácie

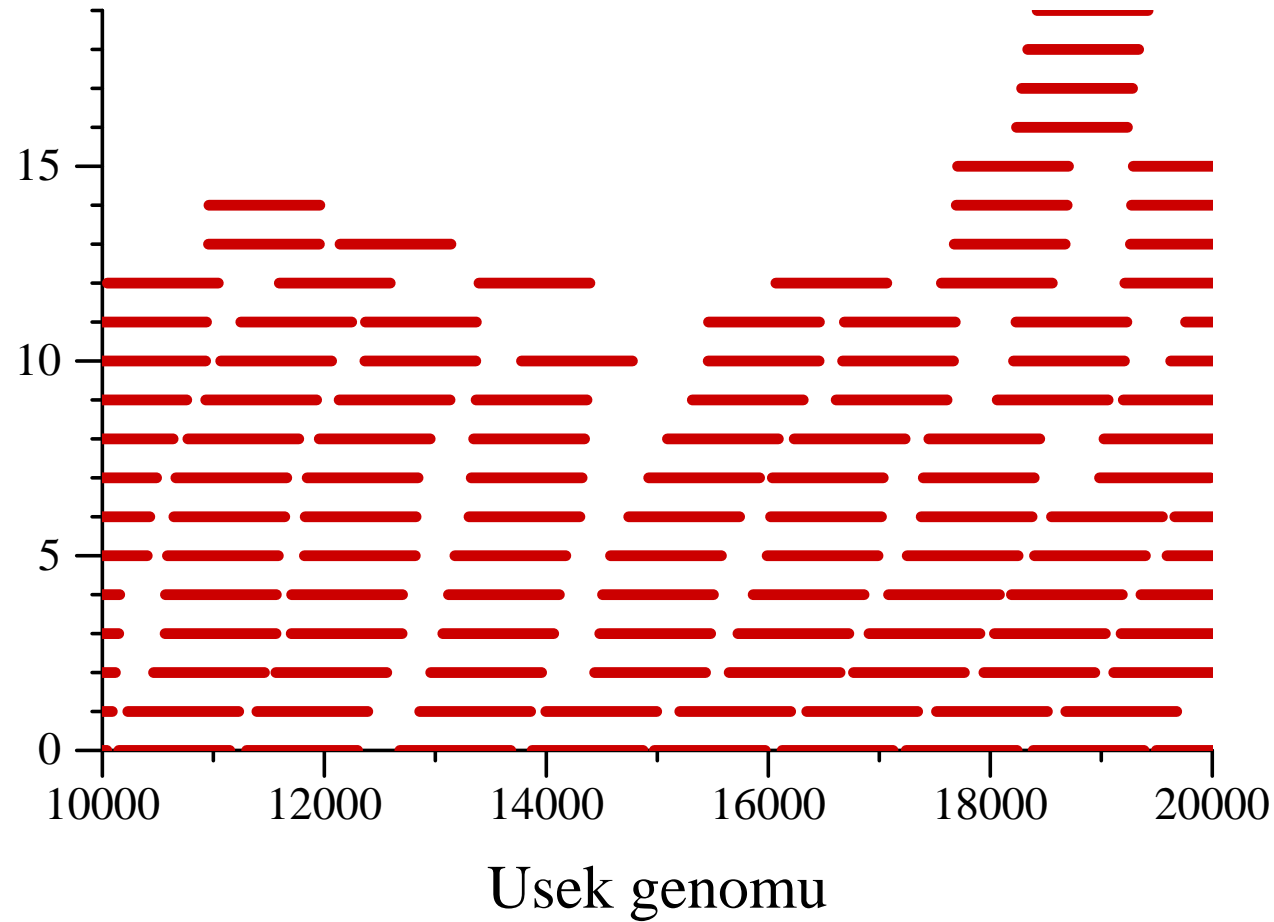
- Zvelebil, Baum: Understanding Bioinformatics, kap. 1
- Vysokoškolské učebnice molekulárnej biológie
- Anglická wikipédia
- Tutoriály na stránke predmetu

Úvod do pravdepodobnosti, sekvenovanie genómov (cvičenie)

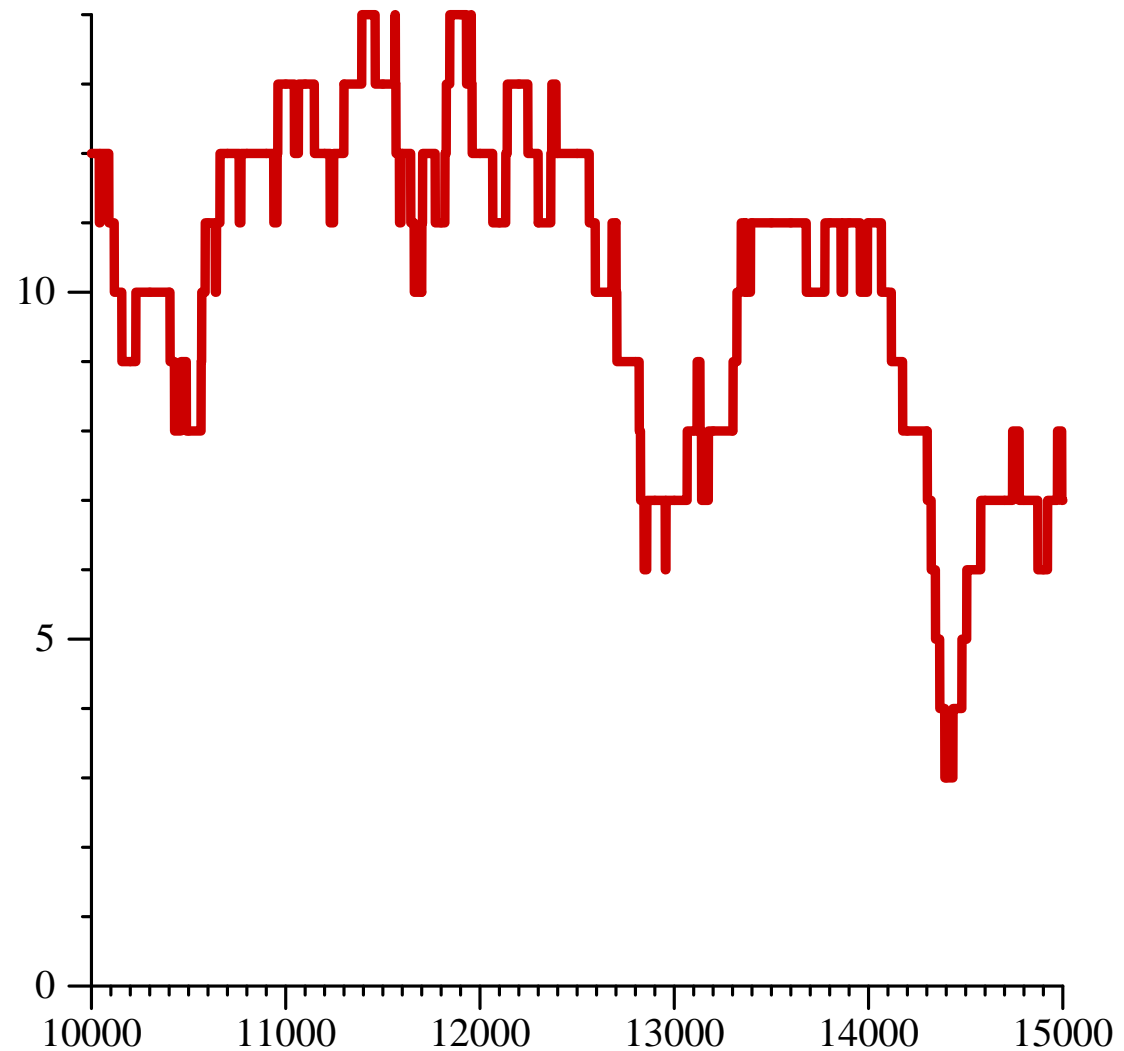
Askar Gafurov
3.10.2019

- G = dĺžka genómu, napr. 1 000 000
- N = počet čítaní (readov), napr. 10 000
- L = dĺžka čítania, napr. 1000
- T = potrebná dĺžka prekryvu, napr. 50

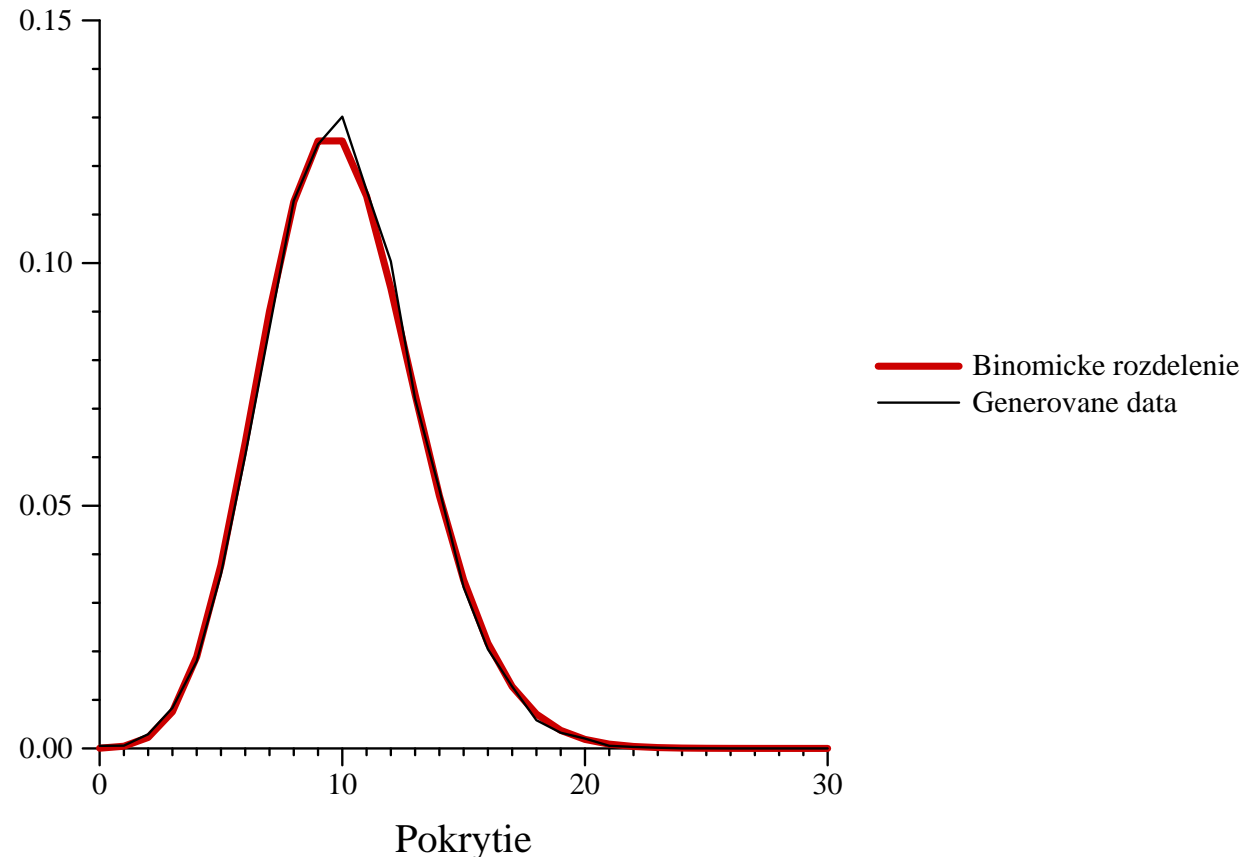
Náhodne generované čítania



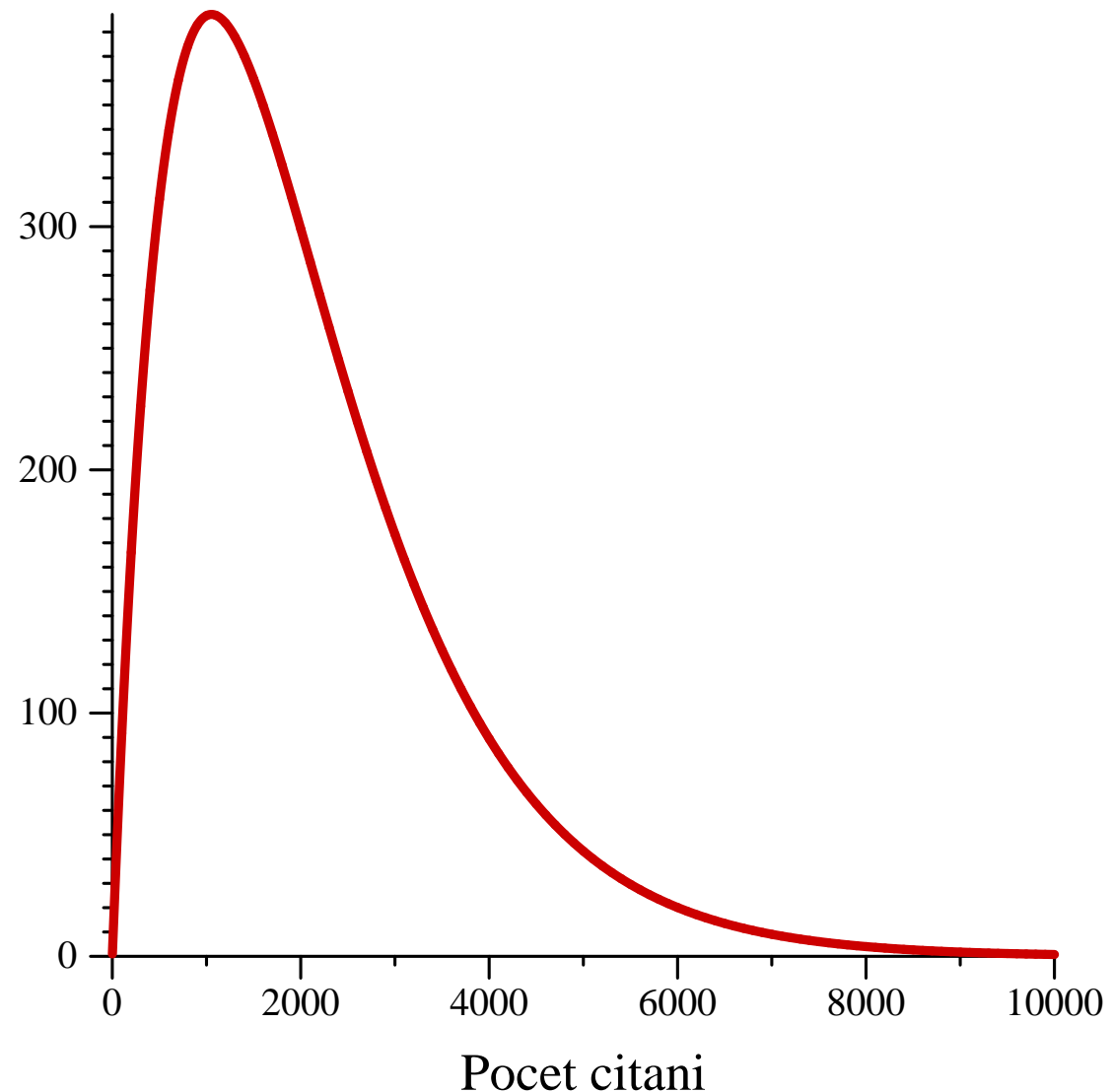
Pokrytie jednotlivých báz



Počet báz s určitým pokrytím



Predpokladaný počet kontigov od počtu čítaní



| | | |
|-----------------------|-----------------------|-----------------------|
| nepokr: 0 koncov: 0 | nepokr: 0 koncov: 0 | nepokr: 0 koncov: 0 |
| nepokr: 274 koncov: 2 | nepokr: 282 koncov: 1 | nepokr: 0 koncov: 0 |
| nepokr: 0 koncov: 0 | nepokr: 0 koncov: 0 | nepokr: 8 koncov: 1 |
| nepokr: 0 koncov: 0 | nepokr: 12 koncov: 1 | nepokr: 0 koncov: 0 |
| nepokr: 122 koncov: 1 | nepokr: 135 koncov: 1 | nepokr: 111 koncov: 1 |
| nepokr: 13 koncov: 1 | nepokr: 1 koncov: 1 | nepokr: 56 koncov: 1 |
| nepokr: 265 koncov: 1 | nepokr: 0 koncov: 0 | nepokr: 10 koncov: 1 |
| nepokr: 0 koncov: 0 | nepokr: 0 koncov: 0 | nepokr: 130 koncov: 1 |
| nepokr: 217 koncov: 1 | nepokr: 3 koncov: 1 | nepokr: 0 koncov: 0 |
| nepokr: 0 koncov: 0 | nepokr: 0 koncov: 0 | nepokr: 86 koncov: 1 |
| nepokr: 139 koncov: 2 | nepokr: 0 koncov: 0 | nepokr: 0 koncov: 0 |
| nepokr: 76 koncov: 1 | nepokr: 221 koncov: 1 | nepokr: 26 koncov: 1 |
| nepokr: 0 koncov: 0 | nepokr: 1 koncov: 1 | nepokr: 0 koncov: 0 |
| nepokr: 0 koncov: 0 | nepokr: 0 koncov: 0 | nepokr: 0 koncov: 0 |
| nepokr: 0 koncov: 0 | nepokr: 0 koncov: 0 | nepokr: 12 koncov: 1 |
| nepokr: 103 koncov: 2 | nepokr: 0 koncov: 0 | nepokr: 71 koncov: 1 |
| nepokr: 69 koncov: 1 | nepokr: 0 koncov: 0 | |

Úvod do dynamického programovania, proteomika

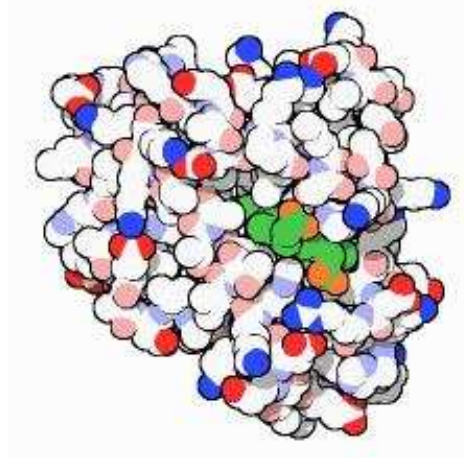
Askar Gafurov

10.10.2019

Proteomika

Proteín: sekvencia pozostáva z 20 rôznych aminokyselín

MGLSDGEWQLVLNWGKVEADIPGHGQEVLIRLFKGHPETLEKFDKFKHLKSEDEMKA
SE DLKKHGATVLTALGGILKKKGHHEAEIKPLAQSHATKHKIPVKYLEFISECIIQVLQSKH
PGDFGADAQGAMNKALELFRKDMASNYKELGFQG



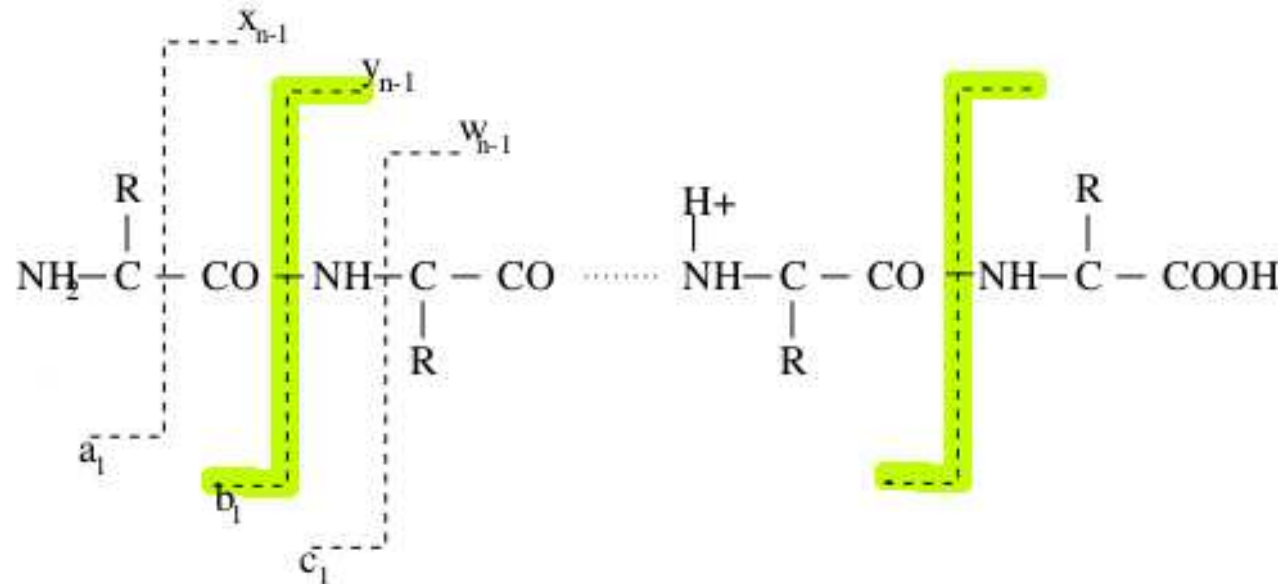
Z bunky sme izolovali určitý proteín, chceme zistiť jeho sekvenciu.

Hmotnosná spektrometria (mass spectometry)

- Meria pomer hmotnosti/náboj molekúl vo vzorke
- Používa sa na identifikáciu proteínov
- Proteín nasekáme enzymom trypsín (seká na [KR] {P}) na peptidy
- Meriame hmotnosť kúskov, porovnáme s databázou proteínov.
- Tandemová hmotnosná spektrometria (MS/MS) ďalej fragmentuje každý kúsok a dosiahne podrobnejšie spektrum, ktoré obsahuje viac informácie
- V niektorých prípadoch tak vieme sekvenciu proteínu určiť priamo z MS/MS, bez databázy proteínov

Tandemová hmotnostná spektrometria MS/MS

Štiepenie peptidu na prefixy a sufixy



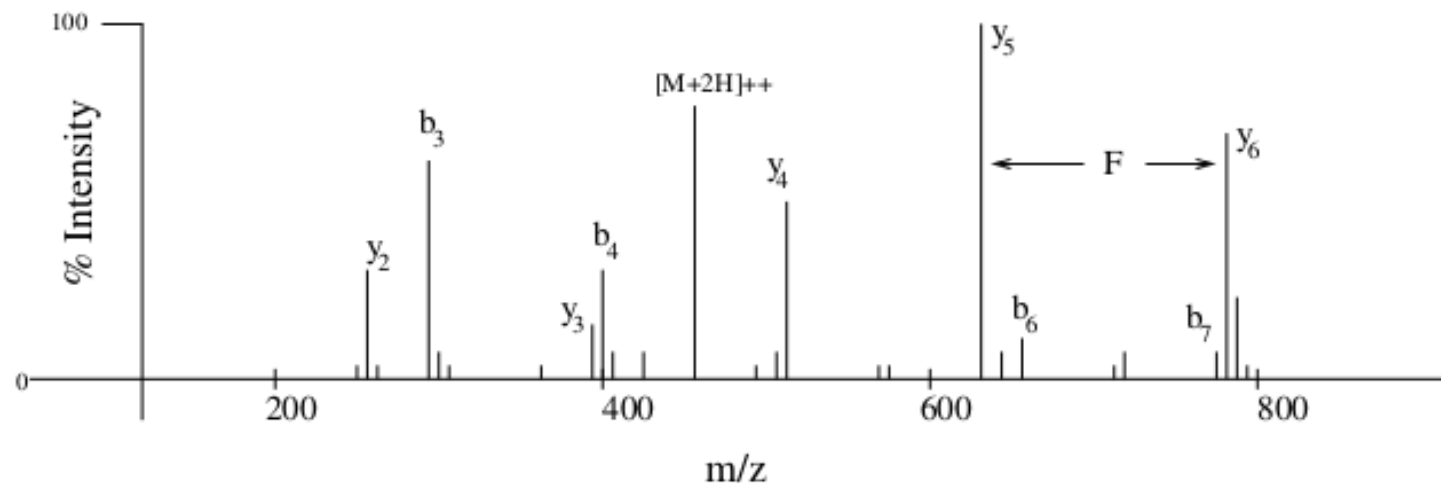
zdroj: Bafna and Reinert

b-ióny: prefixy

y-ióny: sufixy

Tandemová hmotnostná spektrometria MS/MS

| | | | | | | | | |
|-----|-----|-----|-----|-----|-----|-----|-----|--------|
| 88 | 145 | 292 | 405 | 534 | 663 | 778 | 924 | b-ions |
| S | G | F | L | E | E | D | K | |
| 924 | 837 | 780 | 633 | 520 | 391 | 262 | 141 | y-ions |



zdroj: Bafna and Reinert

Sekvenovanie peptidov pomocou MS/MS

Vstup: celková hmotnosť peptidu M ,
hmotnosti aminokyselín $a[1], \dots, a[20]$ (celé čísla),
spektrum ako tabuľka $f[0], \dots, f[M]$, ktorá hmotnosti určí skôre
podľa signálu v okolí príslušného bodu grafu

Označenie:

Nech $x = x_1 \dots x_k$ je postupnosť aminokyselín

Nech $m(x) = \sum_{j=1}^k a[x_j]$ je hmotnosť x

Nech $\mathcal{M}_P(x) = \{m(x_1 \dots x_j) \mid j = 1, \dots, k\}$ sú hmotnosti prefixov x

Nech $\mathcal{M}_S(x) = \{m(x_j \dots x_k) \mid j = 1, \dots, k\}$ sú hmotnosti sufíxov x

Problém 1:

uvažujeme iba b-ióny (prefixy)

Výstup: postupnosť aminokyselín x taká, že $m(x) = M$ a

$\sum_{m \in \mathcal{M}_P(x)} f[m]$ je maximálna možná

Príklad

Uvažujme len 3 aminokyseliny X,Y,Z

$$M = 23, a[X] = 4, a[Y] = 6, a[Z] = 7$$

| | | | | | | | | |
|--------|---|---|---|----|----|----|----|----|
| m | 4 | 6 | 7 | 11 | 12 | 17 | 18 | 19 |
| $f[m]$ | 1 | 1 | 1 | 1 | 1 | 1 | 1 | 1 |

Hmotnosti prefixov $\mathcal{M}_P(XZY) =$

$$\{m(), m(X), m(XZ), m(XZY), m(XZY)\} = \{0, 4, 11, 17, 23\}$$

Hmotnosti sufixov $\mathcal{M}_S(XZY) =$

$$\{m(), m(Y), m(YY), m(ZYY), m(XZYY)\} = \{0, 6, 12, 19, 23\}$$

Skóre XZY: $\sum_{m \in \mathcal{M}_P(ZYXX)} f[m] = 0 + 1 + 1 + 1 + 0 = 3$

Skóre XZXXX: $\sum_{m \in \mathcal{M}_P(ZYZZZ)} f[m] =$

$$f[0] + f[4] + f[11] + f[15] + f[19] + f[23] = 0 + 1 + 1 + 0 + 1 + 0 = 3$$

Sekvenovanie peptidov pomocou MS/MS

Problém 2: uvažujeme prefixy aj sufixy, sčítame ich skóre

Výstup: postupnosť aminokyselín x taká, že $m(x) = M$ a $\sum_{m \in \mathcal{M}_P(x)} f[m] + \sum_{m \in \mathcal{M}_S(x)} f[m]$ je maximálna možná

Problém 3: uvažujeme prefixy aj sufixy, sčítame ich skóre, ale každú hmotnosť započítame najviac raz

Výstup: postupnosť aminokyselín x taká, že $m(x) = M$ a $\sum_{m \in \mathcal{M}_P(x) \cup \mathcal{M}_S(x)} f[m]$ je maximálna možná

Príklad

$$M = 23, a[X] = 4, a[Y] = 6, a[Z] = 7$$

| | | | | | | | | |
|--------|---|---|---|----|----|----|----|----|
| m | 4 | 6 | 7 | 11 | 12 | 17 | 18 | 19 |
| $f[m]$ | 1 | 1 | 1 | 1 | 1 | 1 | 1 | 1 |

$$\mathcal{M}_P(XZYY) = \{0, 4, 11, 17, 23\} \quad \mathcal{M}_S(XZYY) = \{0, 6, 12, 19, 23\}$$

$$\mathcal{M}_P(XZXXX) = \{0, 4, 11, 15, 19, 23\}$$

$$\mathcal{M}_S(XZXXX) = \{0, 4, 8, 12, 19, 23\}$$

Problém 2: $\sum_{m \in \mathcal{M}_P(x)} f[m] + \sum_{m \in \mathcal{M}_S(x)} f[m]$

$$\text{Skóre XZYY: } 0 + 1 + 1 + 1 + 0 + 0 + 1 + 1 + 1 + 0 = 6$$

$$\text{Skóre XZXXX: } 0 + 1 + 1 + 0 + 1 + 0 + 0 + 1 + 0 + 1 + 1 + 0 = 6$$

Problém 3: $\sum_{m \in \mathcal{M}_P(x) \cup \mathcal{M}_S(x)} f[m]$

$$\text{XZYY: } \{0, 4, 6, 11, 12, 17, 19, 23\}, 1 + 1 + 1 + 1 + 1 + 1 + 0 = 6$$

$$\text{XZXXX: } \{0, 4, 8, 11, 12, 15, 19, 23\}, 1 + 0 + 1 + 1 + 0 + 1 + 0 = 4$$

Ekvivalencia problémov

Problém 2: maximalizujeme $\sum_{m \in \mathcal{M}_P(x)} f[m] + \sum_{m \in \mathcal{M}_S(x)} f[m]$

Iná formulácia: maximalizujeme $\sum_{m \in \mathcal{M}_p(x)} g[m]$
kde $g[m] = f[m] + f[M - m]$

Ekvivalencia problémov

Problém 3: maximalizujeme $\sum_{m \in \mathcal{M}_P(x) \cup \mathcal{M}_S(x)} f[m]$

Iná formulácia: maximalizujeme $\sum_{m \in \mathcal{M}_P(x) \cup \mathcal{M}_S(x), m \leq M/2} h[m]$

kde $h[m] = \begin{cases} f[m] + f[M - m] & \text{ak } m < M/2 \\ f[m] & \text{ak } m = M/2 \end{cases}$

Jadrá zarovnaní

Tomáš Vinar

20.10.2016

Opakovanie: Heuristické lokálne zarovnávanie, BLAST

Príklad: $w = 2$ (začíname z jadier dĺžky 2).

(V praxi sa používa $w = 10$ a viac.)

| | | | | | | | | | | |
|---|---|---|---|---|---|---|---|---|---|---|
| | C | A | G | T | C | C | T | A | G | A |
| 0 | 0 | 0 | 0 | 0 | 0 | 0 | 0 | 0 | 0 | 0 |
| C | 0 | 1 | 0 | 0 | 0 | 1 | 1 | 0 | 0 | 0 |
| A | 0 | 0 | 2 | 1 | 0 | 0 | 0 | 0 | 1 | 0 |
| T | 0 | 0 | 1 | 2 | 1 | 0 | 1 | 0 | 0 | 0 |
| G | 0 | 0 | 0 | 2 | 1 | 0 | 0 | 0 | 0 | 1 |
| T | 0 | 0 | 0 | 0 | 3 | 2 | 1 | 1 | 0 | 0 |
| C | 0 | 1 | 0 | 0 | 0 | 1 | 3 | 0 | 0 | 0 |
| A | 0 | 0 | 2 | 1 | 0 | 3 | 3 | 2 | 1 | 0 |
| T | 0 | 0 | 1 | 1 | 2 | 2 | 2 | 4 | 3 | 2 |
| A | 0 | 0 | 1 | 0 | 1 | 1 | 1 | 3 | 4 | 3 |

1. nájdi zhodné úseky
2. rozšír bez medzier
3. spoj medzerami

Senzitivita heuristického algoritmu

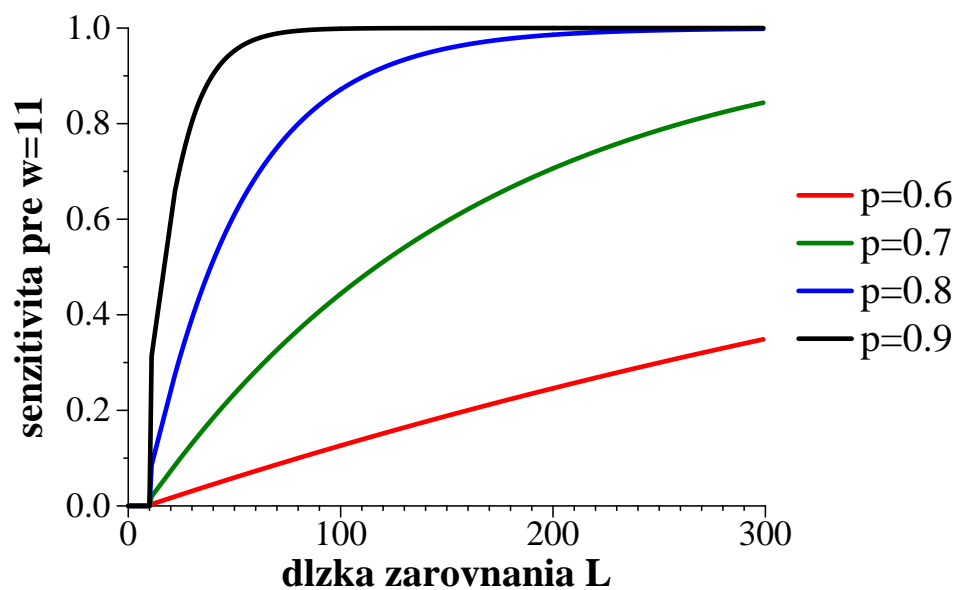
Odhad senzitivity:

Predpokladáme zarovnanie bez medzier, dĺžky L

Každá pozícia je zhoda s pravdepodobnosťou p

Senzitivita:

$$f(L, p) = \Pr(\text{zarovnanie obsahuje } w \text{ zhôd za sebou})$$



Jadrá z medzerami, spaced seeds

PatternHunter [Ma, Tromp, Li 2002]

Jadro s medzerami: vyžadovaná konfigurácia zhôd

Príklad:

“match—match—don’t care—match” značíme ako 1101

| |
|-----------------------|
| GTGGTGCTCTCTGACAAAGCC |
| |
| ATTGTTCTTAATGAGAAAGAA |
| 1101 1101 |
| 1101 |

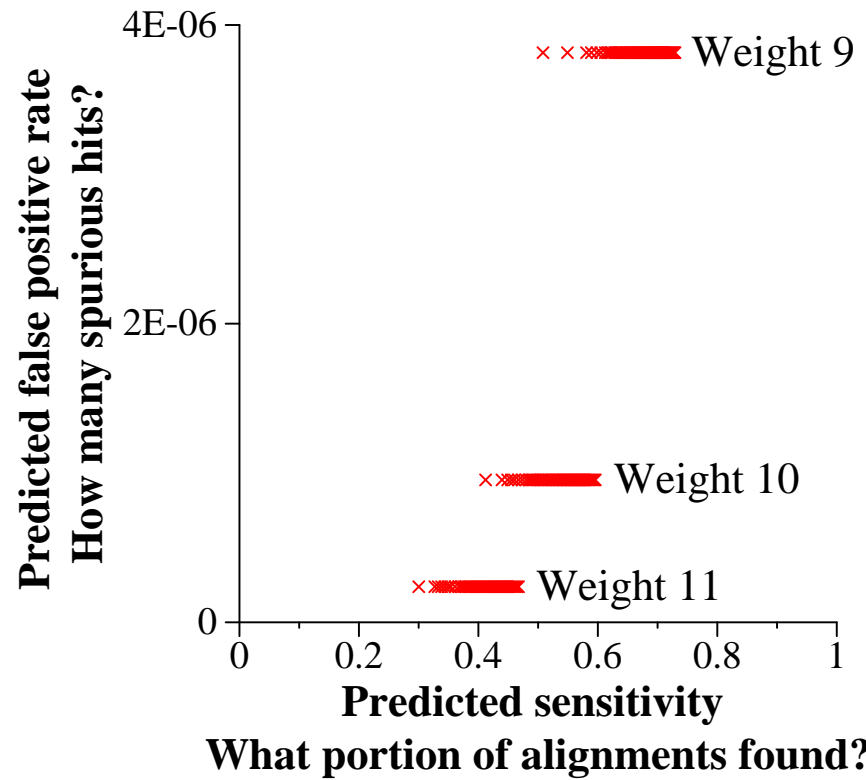
BLASTN jadro (11 za sebou idúcich zhôd)

ekvivalentné jadru 11111111111

Nie všetky jadrá sú rovnaké

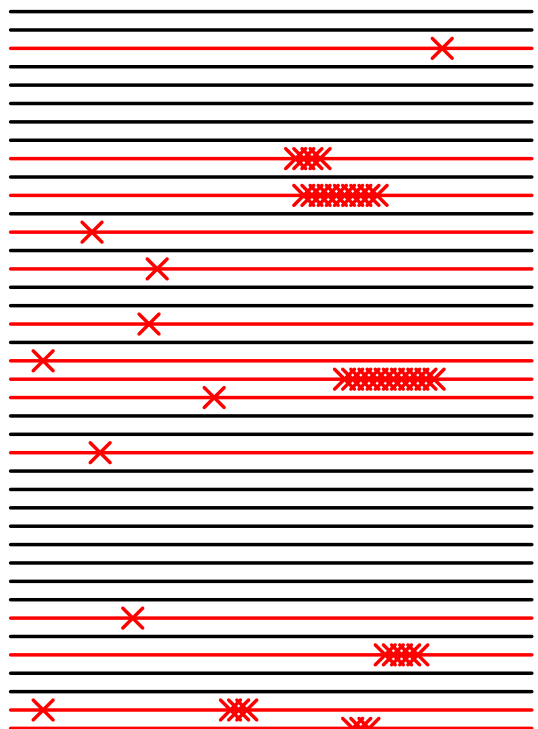
Váha jadra: počet vyžadovaných zhôd

Každý krížik: senzitivita vs. čas pre jedno jadro v pravdepodobnostnom modeli



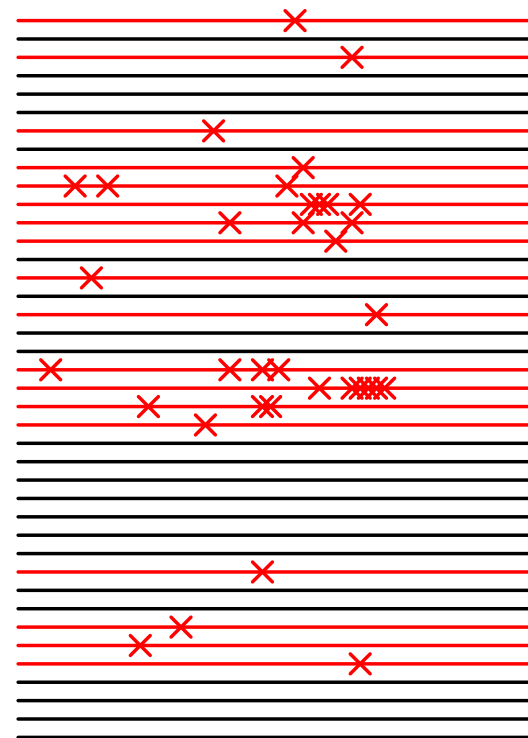
Prečo sú jadrá s medzerami senzitívnejšie?

Príklad: dĺžka zarovnania $L = 64$,
pravdepodobnosť zhody $p = 0.7$ na každej pozícii
40 náhodných zarovnaní, výskytu jadra



111111111111

Sn.: 14/40, hits: 46



111010010100110111

Sn.: 18/40, hits: 35

Prečo sú jadrá s medzerami senzitívnejšie?

Príklad: dĺžka zarovnania $L = 64$,
pravdepodobnosť zhody $p = 0.7$ na každej pozícii

Bez medzier

1111111111

S medzerami

111010010100110111

Stredná hodnota počtu výskytov v zarovnaní:

$$54 \cdot 0.7^{11} = 1.1$$

$$47 \cdot 0.7^{11} = 0.9$$

Pravdepodobnosť výskytu na poz. $i + 1$ ak výskyt na i :

0.7

$0.7^6 = 0.12$

1111111111

111010010100110111

1111111111

111010010100110111

Výskyty často vedľa seba

Výskyty "nezávislejšie"

Senzitivita (pravdepodobnosť aspoň jedného výskytu):

0.30

0.47

Ďalšie hašovacie stratégie

Nukleotidový BLAST: 10 zhôd za sebou

Jadro s medzerami: povoluje nezhody na 8 z 18 pozícií

BLAT [Kent 2002]: povoluje 1 nezhodu na ľub. z 11 pozícií

BLASTP: 3 amino kyseliny so skóre aspoň 13 v matici BLOSUM62

Výskyt: N I R

N L R

$6+2+5=13$

Nie výskyt: A I L

A I L

$4+4+4=12$

Vektorové jadrá: kombinácia jadier s medzerami a BLAT/BLASTP

Viaceré výskyty: začni rozširovať iba ak viac výskytov blízko seba na tej istej uhlopriečke

Viaceré jadrá: zober zjednotenie výskytov

Záleží na modeli zarovnania

Pravdepodobnosť zhody kolíše v rámci kodónu:

| | | | |
|------------------------|------|-------|--------|
| Poloha v kodóne: | prvá | druhá | tretia |
| Pravdepodobnosť zhody: | 0.67 | 0.77 | 0.40 |

Senzitivita na testovacej vzorke exónov kódujúcich proteíny:

| Jadro | | Človek vs. | |
|------------------------------|-------------------------------|------------|-----|
| | | Drosophila | myš |
| Optimálne pre dátu | 110 110 000 110 110 11 | 86% | 92% |
| Optimalne pre kodónový model | 110 110 010 110 010 11 | 86% | 91% |
| WABA [Kent, Zahler 2000] | 110 110 110 110 11 | 80% | 90% |
| Optimálne pre i.i.d. model | 111001001001010111 | 60% | 86% |
| BLAST | 1111111111 | 43% | 81% |
| Najhoršie | 101010101010101011 | 39% | 79% |

A čo globálne zarovnania?

Ukotvené zarovnanie (Anchored alignment)

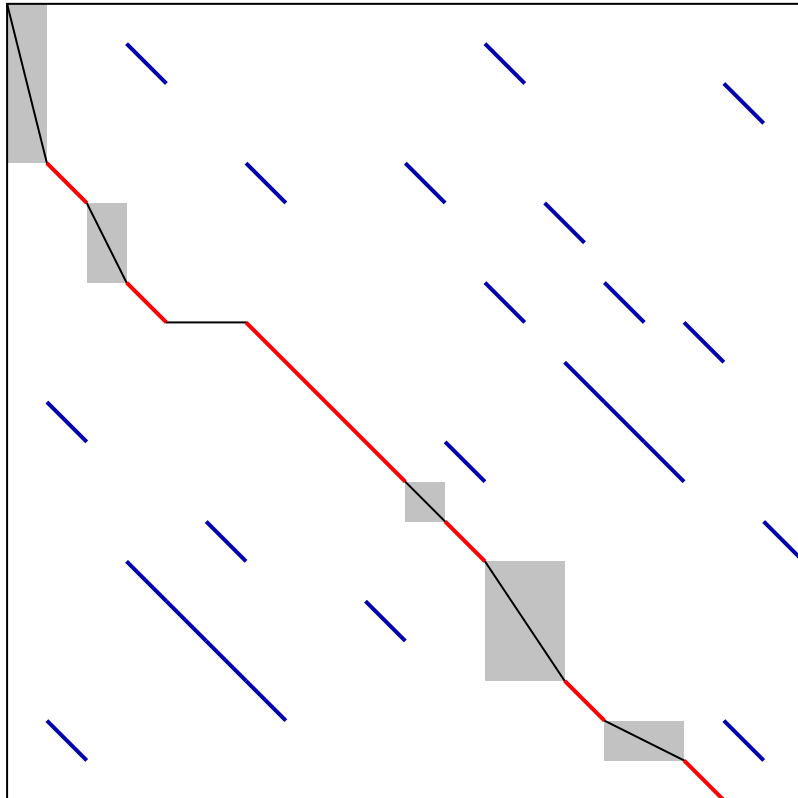
- Nájdime lokálne zarovnania (alebo výskyty nejakého jadra)
 - možné **ukotvenia**
- Zvol' konzistentnú množinu ukotvení
(monotónna postupnosť)
- Zarovnaj časti sekvencií medzi ukotveniami
(pomocou dyn. prog. alebo rekurzívne d'alším kotvením)

MUMMER [Delcher 1999]

GLASS [Batzoglou et al 2000]

AVID [Bray et al 2003]

Ukotvené zarovnanie



Modré: nezvolené ukotvenia
Červené: zvolené ukotvenia
Sivé: riešime dyn. prog.
Čierne: globálne zarovnanie

Znova protichodné vplyvy:

málo spoločlivých ukotvení – dobrá kvalita, pomalé

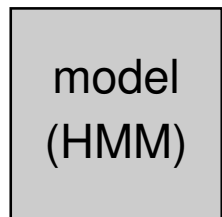
veľa slabších ukotvení – rýchle (malá sivá plocha), viac chýb v ukotvení

Algoritmy pre HMM

Askar Gafurov

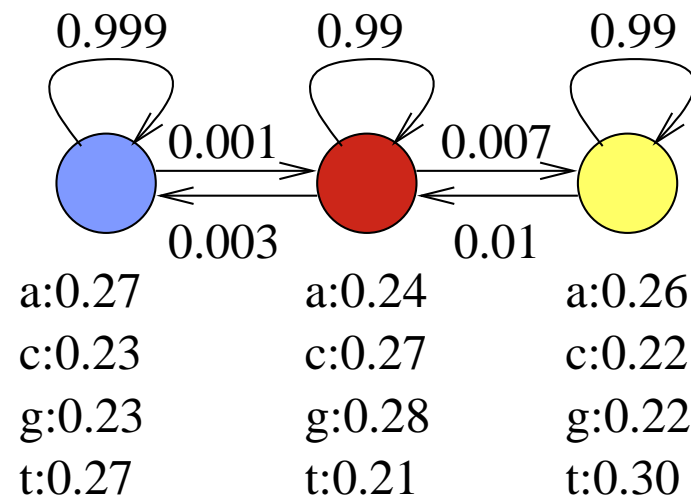
7.11.2019

Opakovanie: HMM (skrytý Markovov model)



náhodná DNA sekvencia S , náhodná anotácia A
(podobné na ozajstnú DNA)

$\Pr(S, A)$ – pravdepodobnosť, že model vygeneruje páár (S, A) .

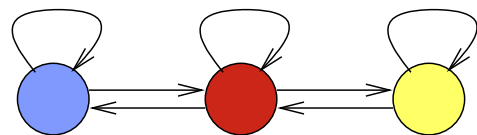


Predpokladajme, že model vždy začína v modrom stave.

$$\Pr(\text{aca}) = 0.27 \cdot 0.001 \cdot 0.27 \cdot 0.99 \cdot 0.24 = 0.000017$$

$$\Pr(\text{aca}) = 0.27 \cdot 0.999 \cdot 0.23 \cdot 0.999 \cdot 0.27 = 0.017$$

Parametre HMM (označenie)



Sekvencia S_1, \dots, S_n
Anotácia A_1, \dots, A_n

Parametre modelu:

Prechodová pravdepodobnosť $a(u, v) = \Pr(A_{i+1} = v | A_i = u)$,

Emisná pravdepodobnosť $e(u, x) = \Pr(S_i = x | A_i = u)$,

Počiatočná pravdepodobnosť $\pi(u) = \Pr(A_1 = u)$.

| a | | | |
|-----|-------|-------|-------|
| | 0.99 | 0.007 | 0.003 |
| | 0.01 | 0.99 | 0 |
| | 0.001 | 0 | 0.999 |

| e | a | c | g | t |
|-----|------|------|------|------|
| | 0.24 | 0.27 | 0.28 | 0.21 |
| | 0.26 | 0.22 | 0.22 | 0.30 |
| | 0.27 | 0.23 | 0.23 | 0.27 |

Výsledná pravdepodobnosť: $\Pr(A_1, \dots, A_n, S_1, \dots, S_n) = \pi(A_1)e(A_1, S_1) \prod_{i=2}^n a(A_{i-1}, A_i)e(A_i, S_i)$

Viterbiho algoritmus

Pre danú sekvenciu S nájde najpravdepodobnejšiu anotáciu

$$A = \arg \max_A \Pr(A|S)$$

Dynamické programovanie v čase $O(nm^2)$

Podproblém $V[i, u]$: pravdepodobnosť najpravdepodobnejšej cesty končiacej po i krokoch v stave u , pričom vygeneruje $S_1 S_2 \dots S_i$

Rekurencia:

$$V[1, u] = \pi_u \cdot e_{u, S_1}$$

$$V[i, u] = \max_w V[i - 1, w] \cdot a_{w, u} \cdot e_{u, S_i}$$

Algoritmus:

Incializuj $V[1, *]$

for $i = 2 \dots n$ (n =dĺžka reťazca)

 for $u = 1 \dots m$ (m =počet stavov)

 vypočítaj $V[i, u]$

Maximálne $V[n, j]$ je pravdepodobnosť najpravdepodobnejšej cesty

Dopredný algoritmus

Počíta celkovú pravdepodobnosť, že vygenerujeme sekvenciu S

$$\Pr(S) = \sum_A Pr(A, S)$$

Podproblém $F[i, u]$: pravdepodobnosť, že po i krokoch vygenerujeme S_1, S_2, \dots, S_i a dostaneme sa do stavu u .

$$F[i, u] = \Pr(A_i = u \wedge S_1, S_2, \dots, S_i) = \\ \sum_{A_1, A_2, \dots, A_i = u} \Pr(A_1, A_2, \dots, A_i \wedge S_1, S_2, \dots, S_i)$$

Rekurencia:

$$F[1, u] = \pi_u \cdot e_{u, S_1}$$

$$F[i, u] = \sum_v F[i - 1, v] \cdot a_{v, u} \cdot e_{u, S_i}$$

$$\text{Celková pravdepodobnosť } \Pr(S) = \sum_u F[n, u]$$

Spätný algoritmus

Obdoba dopredného algoritmu

Dopredný algoritmus: $F[i, u] = \Pr(A_i = u \wedge S_1, \dots, S_i)$

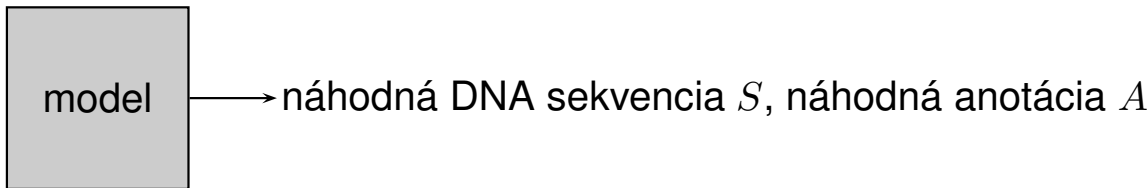
$$F[1, u] = \pi_u \cdot e_{u, S_1}$$

$$F[i, u] = \sum_v F[i - 1, v] \cdot a_{v, u} \cdot e_{u, S_i}$$

$$\Pr(S) = \sum_u F[n, u]$$

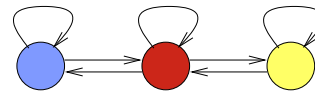
Spätný algoritmus: $B[i, u] = \Pr(S_{i+1}, \dots, S_n | A_i = u)$

Hľadanie génov s HMM



- **Určenie stavov a prechodov v modeli:** ručne, na základe

poznatkov o štruktúre génu.



- **Trénovanie parametrov:** pravdepodobnosti určíme na základe sekvencií so známymi génmi (**trénovacia množina**).
Model zostavíme tak, aby páry (S, A) s vlastnosťami podobnými skutočnému génu mali veľkú pravdepodobnosť $\Pr(S, A)$
- **Použitie:** pre novú sekvenciu S nájdi najpravdepodobnejšiu anotáciu $A = \arg \max_A \Pr(A|S)$ Viterbiho algoritmom

Trénovanie HMM

- Stavový priestor + povolené prechody väčšinou ručne
- Parametre (pravdepodobnosti prechodu, emisie a počiatočné) automaticky z trénovacích sekvencií
- Čím zložitejší model a viac parametrov máme, tým potrebujeme viac trénovacích dát, aby nedošlo k preučeniu, t.j. k situácii, ked' model dobre zodpovedá nejakým zvláštnostiam trénovacích dát, nie však d'alším dátam.
- Presnosť modelu testujeme na zvláštnych testovacích dátach, ktoré sme nepoužili na trénovanie.

Trénovanie HMM z anotovaných sekvencií

Vstup: topológia modelu a niekoľko trénovacích párov $S^{(i)}, A^{(i)}$

Cieľ: nastaviť $\pi_u, e_{u,x}, a_{u,v}$ tak, aby $\prod_i \Pr(S^{(i)}, A^{(i)})$ bola čo najväčšia

Dosiahneme jednoduchým počítaním frekvencií

Napr. $a_{u,v}$: nájdeme všetky výskyty stavu u a zistíme, ako často za nimi ide stav v

Trénovanie HMM z neanotovaných sekvencií

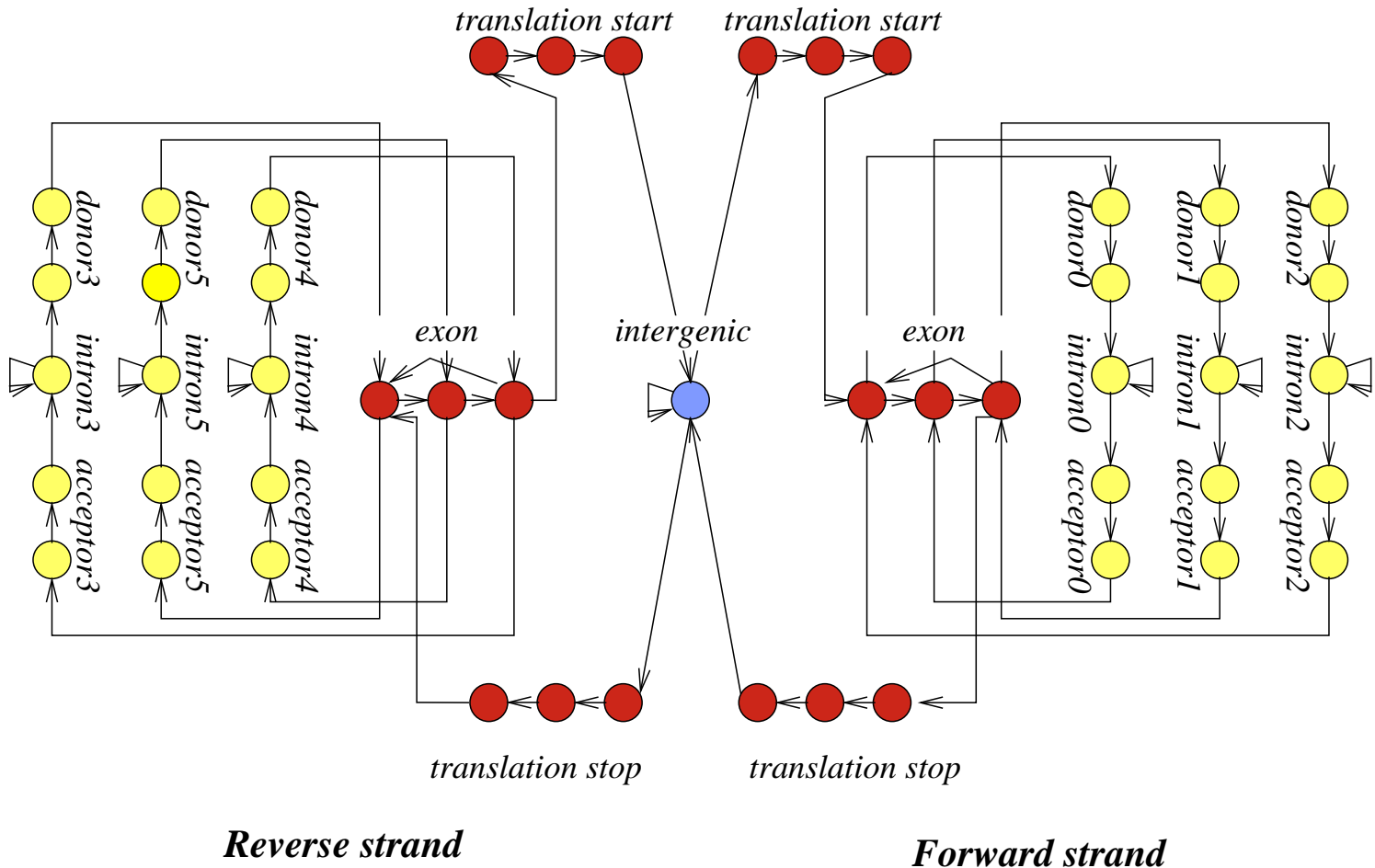
Vstup: topológia modelu a niekoľko trénovacích sekvencií $S^{(i)}$
anotácie $A^{(i)}$ nepoznáme

Ciel: nastaviť π_u , $e_{u,x}$, $a_{u,v}$ tak, aby $\prod_i \Pr(S^{(i)})$ bola čo najväčšia

Používajú sa heuristické iteratívne algoritmy, napr. Baum-Welchov, ktorý je verziou všeobecnejšieho algoritmu EM (expectation maximization).

Tvorba stavového priestoru modelu

Príklad HMM na hľadanie génov



Substitučné modely

Askar Gafurov

14.11.2019

Substitučné modely, označenie

Nech $P(b|a, t)$ je pravdepodobnosť, že ak začneme s bázou a , tak po čase t budeme mať bázu b .

Matica pravdepodobností prechodu:

$$S(t) = \begin{pmatrix} P(A|A, t) & P(C|A, t) & P(G|A, t) & P(T|A, t) \\ P(A|C, t) & P(C|C, t) & P(G|C, t) & P(T|C, t) \\ P(A|G, t) & P(C|G, t) & P(G|G, t) & P(T|G, t) \\ P(A|T, t) & P(C|T, t) & P(G|T, t) & P(T|T, t) \end{pmatrix}$$

Substitučné modely, požiadavky

- $S(0) = I$

- $\lim_{t \rightarrow \infty} S(t) = \begin{pmatrix} \pi_A & \pi_C & \pi_G & \pi_T \\ \pi_A & \pi_C & \pi_G & \pi_T \\ \pi_A & \pi_C & \pi_G & \pi_T \\ \pi_A & \pi_C & \pi_G & \pi_T \end{pmatrix}$

Rozdelenie π nazývame limitné (equilibrium)

- $S(t_1 + t_2) = S(t_1)S(t_2)$ (multiplikatívnosť)
- Pre Jukes-Cantorov model by navyše malo platíť

$$S(t) = \begin{pmatrix} 1 - 3s(t) & s(t) & s(t) & s(t) \\ s(t) & 1 - 3s(t) & s(t) & s(t) \\ s(t) & s(t) & 1 - 3s(t) & s(t) \\ s(t) & s(t) & s(t) & 1 - 3s(t) \end{pmatrix}$$

$$S(t) = \begin{pmatrix} 1 - 3s(t) & s(t) & s(t) & s(t) \\ s(t) & 1 - 3s(t) & s(t) & s(t) \\ s(t) & s(t) & 1 - 3s(t) & s(t) \\ s(t) & s(t) & s(t) & 1 - 3s(t) \end{pmatrix}$$

$$S(2t) = S(t)^2 =$$

$$= \begin{pmatrix} 1 - 6s(t) + 12s(t)^2 & 2s(t) - 4s(t)^2 & 2s(t) - 4s(t)^2 & 2s(t) - 4s(t)^2 \\ 2s(t) - 4s(t)^2 & 1 - 6s(t) + 12s(t)^2 & 2s(t) - 4s(t)^2 & 2s(t) - 4s(t)^2 \\ 2s(t) - 4s(t)^2 & 2s(t) - 4s(t)^2 & 1 - 6s(t) + 12s(t)^2 & 2s(t) - 4s(t)^2 \\ 2s(t) - 4s(t)^2 & 2s(t) - 4s(t)^2 & 2s(t) - 4s(t)^2 & 1 - 6s(t) + 12s(t)^2 \end{pmatrix}$$

$$\approx \begin{pmatrix} 1 - 6s(t) & 2s(t) & 2s(t) & 2s(t) \\ 2s(t) & 1 - 6s(t) & 2s(t) & 2s(t) \\ 2s(t) & 2s(t) & 1 - 6s(t) & 2s(t) \\ 2s(t) & 2s(t) & 2s(t) & 1 - 6s(t) \end{pmatrix}$$

pre $t \rightarrow 0$

Matica rýchlosťí (matica intenzít, substitution rate matrix)

- Matica rýchlosťí pre Jukes-Cantorov model:

$$R = \begin{pmatrix} -3\alpha & \alpha & \alpha & \alpha \\ \alpha & -3\alpha & \alpha & \alpha \\ \alpha & \alpha & -3\alpha & \alpha \\ \alpha & \alpha & \alpha & -3\alpha \end{pmatrix}$$

- Pre veľmi malý čas t je $S(t) \approx I + Rt$
- Rýchlosť α je pravdepodobnosť zmeny za jednotku času pre veľmi krátke t , resp. derivácia $s(t)$ vzhľadom na t v bode 0
- Riešením diferenciálnych rovníc pre Jukes-Cantorov model dostávame $s(t) = (1 - e^{-4\alpha t})/4$

Riešenie pre Jukes-Cantorov model

$$S(t) = \begin{pmatrix} (1 + 3e^{-4\alpha t})/4 & (1 - e^{-4\alpha t})/4 & (1 - e^{-4\alpha t})/4 & (1 - e^{-4\alpha t})/4 \\ (1 - e^{-4\alpha t})/4 & (1 + 3e^{-4\alpha t})/4 & (1 - e^{-4\alpha t})/4 & (1 - e^{-4\alpha t})/4 \\ (1 - e^{-4\alpha t})/4 & (1 - e^{-4\alpha t})/4 & (1 + 3e^{-4\alpha t})/4 & (1 - e^{-4\alpha t})/4 \\ (1 - e^{-4\alpha t})/4 & (1 - e^{-4\alpha t})/4 & (1 - e^{-4\alpha t})/4 & (1 + 3e^{-4\alpha t})/4 \end{pmatrix}$$

Matica rýchlosťí sa zvykne normalizovať tak, aby na jednotku času pripadla v priemere jedna substitúcia, čo dosiahneme ak $\alpha = 1/3$

Substitučné matice, zhrnutie

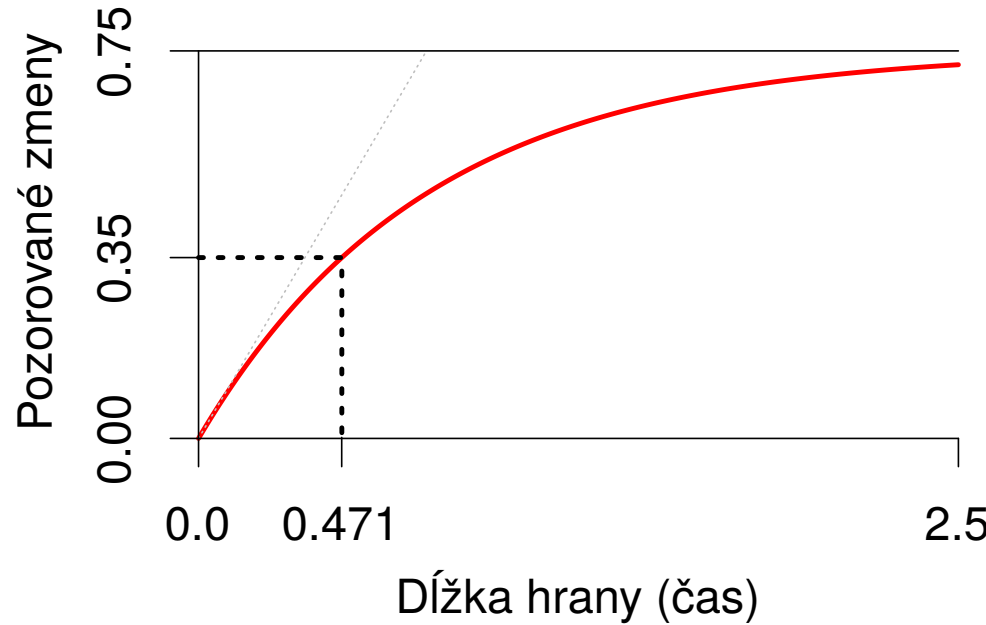
- $S(t)$: matica 4×4 , kde políčko $S(t)_{a,b} = P(b|a, t)$ je pravdepodobnosť, že ak začneme s bázou a , tak po čase t budeme mať bázu b .
- Jukes-Cantorov model predpokladá, že $P(b|a, t)$ rovnaká pre každé $a \neq b$
- Pre daný čas t máme mimo diagonály $s(t)$, na diagonále $1 - 3s(t)$
- Matica rýchlosťí R : pre J-C model mimo diagonály α , na diagonále -3α
- Pre veľmi malé t máme $S(t) \approx I - Rt$
- Rýchlosť α je pravdepodobnosť zmeny za jednotku času pre veľmi malé t , resp. derivácia $s(t)$ vzhľadom na t v bode $t = 0$
- Riešením diferenciálnych rovíc pre J-C model dostávame
$$s(t) = (1 - e^{-4\alpha t})/4$$
- Matica rýchlosťí sa zvykne normalizovať tak, aby na jednotku času pripadla v priemere jedna substitúcia, čo dosiahneme ak $\alpha = 1/3$

Korekcia evolučných vzdialenosí

$$\Pr(X_{t_0+t} = C \mid X_{t_0} = A) = \frac{1}{4}(1 - e^{-\frac{4}{3}t})$$

Očakávaná frekvencia pozorovaných zmien na bázu za čas t :

$$D(t) = \Pr(X_{t_0+t} \neq X_{t_0}) = \frac{3}{4}(1 - e^{-\frac{4}{3}t})$$



Korekcia pozorovaných vzdialenosí

$$D = \frac{3}{4}(1 - e^{-\frac{4}{3}t}) \quad \Rightarrow \quad t = -\frac{3}{4} \ln(1 - \frac{4}{3}D)$$

Zložitejšie modely

- Všeobecná matica rýchlosťí R

$$R = \begin{pmatrix} \cdot & \mu_{AC} & \mu_{AG} & \mu_{AT} \\ \mu_{CA} & \cdot & \mu_{CG} & \mu_{CT} \\ \mu_{GA} & \mu_{GC} & \cdot & \mu_{GT} \\ \mu_{TA} & \mu_{TC} & \mu_{TG} & \cdot \end{pmatrix}$$

- μ_{xy} je rýchlosť, akou sa báza x mení na inú bázu y
- Presnejšie $\mu_{xy} = \lim_{t \rightarrow 0} \frac{\Pr(y | x, t)}{t}$
- Diagonálu dopočítame tak, aby súčet každého riadku bol 0
- Existujú modely s menším počtom parametrov (kompromis medzi J-C a ľubovoľnou maticou)

Kimurov model

- Zachytáva, že puríny sa častejšie menia na iné puríny (A a G) a pyrimidíny na iné pyrimidíny (C a T)
- Má dva parametre: rýchlosť tranzícií α , transverzií β

$$\bullet R = \begin{pmatrix} -2\beta - \alpha & \beta & \alpha & \beta \\ \beta & -2\beta - \alpha & \beta & \alpha \\ \alpha & \beta & -2\beta - \alpha & \beta \\ \beta & \alpha & \beta & -2\beta - \alpha \end{pmatrix}$$

HKY model (Hasegawa, Kishino, Yano)

- Rozšírenie Kimurovho modelu, umožňuje aj rôzne pravdepodobnosti A, C, G a T v limite (v ekvilibriu)
- Ak nastavíme čas v evolučnom modeli na nekonečno, nezáleží na tom, z ktorej bázy sme začali, frekvencia výskytu jednotlivých báz sa ustáli v tzv. ekvilibriu.
- V Jukes-Cantorovom modeli je pravdepodobnosť každej bázy v ekvilibriu $1/4$.
- V HKY si zvolíme aj frekvencie jednotlivých nukleotidov v ekvilibriu $\pi_A, \pi_C, \pi_G, \pi_T$ so súčtom 1
- Parameter κ : pomer tranzícií a transverzií (α/β)
- Matica rýchlosťí:

$$\mu_{x,y} = \begin{cases} \kappa\pi_y & \text{ak mutácia z } x \text{ na } y \text{ je tranzícia} \\ \pi_y & \text{ak mutácia z } x \text{ na } y \text{ je transverzia} \end{cases}$$

Od R k $S(t)$

- Pre zložité modely nevieme odvodiť explicitný vzorec na výpočet $S(t)$, ako sme mali pri Jukes-Cantorovom modeli
- Vo všeobecnosti $S(t) = e^{Rt}$
- Exponenciálna funkcia matice A sa definuje ako $e^A = \sum_{k=0}^{\infty} \frac{1}{k!} A^k$
- Ak R diagonalizujeme $R = UDU^{-1}$, kde D je diagonálna matica, tak $e^{Rt} = Ue^{Dt}U^{-1}$ a exponenciálne funkcie uplatníme iba na prvky na uhlopriečke D
- Diagonalizácia vždy existuje pre symetrické R (na diagonále vlastné hodnoty)

Cvičenia pre informatikov, 10.12.2020

Zhrnutie semestra

Pravdepodobnostné modely

- Skryté Markovove modely (hl'adanie génov, konzervovaných oblastí, fylogenetické HMM, profilové HMM)
- Fylogenetické stromy a substitučné modely
- Stochastické bezkontextové gramatiky
- Gibbsovo vzorkovanie
- Metóda maximálnej vierošnosti
- Expectation maximization (EM)

Štatistické metódy

- Pojem štatistickej významnosti, E-hodnota a P-hodnota
- Test na pozitívny výber
- Väzbová nerovnováha, mapovanie asociácií

Precvičenie dynamického programovania

- Zarovnávanie sekvencií
(globálne, lokálne, afínne medzery)
- Skryté Markovove modely (Viterbiho algoritmus)
- Výpočty na stromoch
(úspornosť, viero hodnosť - Felsensteinov algoritmus)
- Hmotnostná spektrometria (MS/MS)
- Sekundárna štruktúra RNA

Iné

- Celočíselné lineárne programovanie
- deBruijnové grafy
- Zhlukovanie a klasifikácia

Ako modelovať problémy reálneho sveta

- Rozmyslieť si, aké máme dátá, čo by sme chceli ako výsledok
- Sformulovať ako informatický problém (napr. optimalizácia nejakého skóre)
- Pravdepodobnostné modely nám často dovolia zvoliť skórovaciu schému systematickým spôsobom
- Výsledný problém často NP ťažký
 - Heuristiky, aproximačne algoritmy
 - ILP a iné techniky na presné riešenie
 - Nedá sa problém trochu preformulovať?
- Testovanie: sú výpočtové výsledky relevantné v danej doméne? (bola formulácia dostatočne realistická?)

Ďalšie predmety

- **Strojové učenie** 2-INF-150, Vinař/Boža (ZS, 4P, 6kr)
- **Vybrané partie z dátových štruktúr** 2-INF-237, Kováč (ZS, 4P, 6kr)
- **Seminár z bioinformatiky (1)-(4)** 2-AIN-50[56],25[12] (oba semestre, 2S, 2kr)
- **Manažment dát** (a.k.a. Integrácia dátových zdrojov) 2-INF-185
Brejová, Vinař, Boža (LS, 1P/2C, 4kr)
- **Biológia** N-bCXX-055/1-BIN-101, Tomáška (ZS, 2P, 2kr)
- **Všeobecná biológia** N-bCXX-085/1-BIN-113, Tomáška (LS, 2P, 2kr)
- **Genomika** 2-INF-269, Nosek a kol. (LS, 2P/1C, 4kr)
- **Výzvy súčasnej bioinformatiky** 1-BIN-105, Brejová, Vinař (LS, 2S, 2kr)
- <http://compbio.fmph.uniba.sk/vyuka/>

Cvičenia pre informatikov, 10.12.2020

Celocíslené lineárne programovanie

Praktické programy na NP ťažké problémy

Nájdu optimálne riešenie, mnohé inštancie zrátaju v rozumnom case,
ale môžu bežať aj veľmi dlho

- ILP: CPLEX, Gurobi (komerčné), SCIP (nekomerčný)
- SAT: Minisat, Lingeling, glucose, CryptoMiniSat, painless
- TSP: Concorde

Iné NP ťažké problémy môžeme previesť na jeden z týchto problémov

ILP: Integer linear programming

Lineárne programovanie:

reálne premenné x_1, \dots, x_n

minimalizujeme $\sum_i a_i x_i$ pre dané váhy a_1, \dots, a_n

podmienky v tvare $\sum_i b_i x_i \leq c$

Dá sa riešiť v polynomiálnom čase

Celočíslené lineárne programovanie:

Pridáme podmienku, že niektoré premenné sú celočíslené alebo binárne

NP-ťažký problém

Zapíšme známe NP ťažké problémy ako ILP

Knapsack

Máme dané predmety s hmotnosťami $w_1 \dots w_n$ a cenami $c_1 \dots c_n$.

Ktoré z nich vybrať, aby celková hmotnosť bola najviac T a cena bola čo najvyššia?

Zapíšme známe NP ťažké problémy ako ILP

Set cover

Máme n podmnožín S_1, \dots, S_n množiny $U = \{1 \dots m\}$.

Chceme vybrať co najmenší počet zo vstupných množín tak, aby ich zjednotenie bola cela množina U .

Protein threading

Proteín A má známu sekvenciu aj štruktúru, proteín B iba sekvenciu.

Chceme zarovnať A a B tak, že ak sú dve aminokyseliny blízko v A , tak ich ekvivalenty v B by mali byť "kompatibilné".

V A určíme "jadrá", ktoré majú zostať zachované bez inzercií a delécií a v rovnakom poradi.

Jadrá sú oddelené slučkami, ktorých dĺžka sa môže ľubovoľne meniť a ktorých zarovnania nebudeme skórovat.

Protein threading - formulácia

Vstup: sekvencia $B = b_1 \dots b_n$,

dĺžky m jadier $c_1 \dots c_m$,

skórovacie tabuľky

- E_{ij} : ako dobre $b_j \dots b_{j+c_i-1}$ sedí do sekvencie jadra i ,
- $E_{ijk\ell}$: ako dobre by jadrá i a k interagovali, keby začínali na poz. j, ℓ .

Úloha: zvoliť začiatky jadier $x_1 < x_2 < \dots < x_m$ tak, aby

- išli v správnom poradí a bez prekryvov,
- dosiahli maximálne možné skóre

Poznámka: nevravíme, ako zvoliť jadrá a skórovacie tabuľky, čo je modelovací, nie algoritmický problém

ILP

Označenie: sekvencia $B = b_1 \dots b_n$,

dĺžky m jadier $c_1 \dots c_m$,

skórovacie tabuľky

- E_{ij} : ako dobre $b_j \dots b_{j+c_i-1}$ sedí do sekvencie jadra i ,
- $E_{ijk\ell}$: ako dobre by jadrá i a k interagovali, keby začínali na poz. j, ℓ .

Riešenie:

